

【公開版】

日本原燃株式会社	
資料番号	耐震地盤 01 R2
提出年月日	令和4年1月19日

設工認に係る補足説明資料

耐震設計の基本方針に関する

地盤の支持性能について

(再処理施設及びMOX燃料加工施設)

注記

1. 文中の下線部は R0 からの変更箇所，二重下線部は R1 からの変更箇所を示す。
2. 本資料 (R2) は，9月30日に提示した「地盤の支持性能について (R0)」に対し，ヒアリングにおける主な指摘事項である液状化強度試験の内容及び極限支持力度の算定等に係る指摘を踏まえ，記載内容を拡充して10月26日に「地盤の支持性能について (R1)」として，提示したものに対し，主に体裁を修正したものである。

目 次

1. 概要.....	1
2. 基本方針.....	1
3. 対象施設周辺の地質等.....	2
4. 地盤の解析用物性値.....	2
4.1 事業変更許可申請書に記載された解析用物性値	2
4.2 事業変更許可申請書に記載されていない解析用物性値	2
5. 地盤の支持力度.....	27
5.1 直接基礎の支持力算定式.....	27
5.2 杭基礎の支持力算定式.....	31
5.3 地盤の支持力度設定における代表性及び保守性	32
6. 地盤の速度構造.....	36
6.1 入力地震動の設定に用いる地下構造モデル	36
6.2 地震応答解析に用いる地盤の速度構造モデル	36

別紙 液状化強度試験の詳細について

1. 概要

本資料は、再処理施設の添付書類「IV-1-1-2 地盤の支持性能に関する基本方針」及びMOX燃料加工施設の添付書類「III-1-1-2 地盤の支持性能に関する基本方針」のうち「2. 基本方針」に基づき、安全機能を有する施設、常設耐震重要重大事故等対処設備及び常設耐震重要重大事故等対処設備以外の常設重大事故等対処設備が設置される重大事故等対処施設（以下「常設重大事故等対処施設」という。）の耐震安全性評価を実施するにあたり、評価対象施設を設置する地盤の物理特性、強度特性、変形特性の地盤物性値の設定及び支持性能評価で用いる地盤諸元の基本的な考え方として具体的根拠等を示したものである。

2. 基本方針

安全機能を有する施設及び常設重大事故等対処施設において、対象施設を設置する地盤の物理特性、強度特性、変形特性の解析用物性値については、各種試験に基づき設定する。また、全応力解析及び有効応力解析等に用いる解析用物性値をそれぞれ設定する。再処理施設の事業変更許可申請書（添付書類四）及びMOX燃料加工施設の事業変更許可申請書（添付書類三）に記載された値を用いることを基本とする。事業変更許可申請書に記載されていない地盤の解析用物性値は、新たに設定する。

対象施設を設置する地盤の地震時における支持性能の評価については、安全機能を有する施設及び常設重大事故等対処施設の耐震重要度分類に応じた地震力により地盤に作用する接地圧が、地盤の極限支持力度に対して、妥当な余裕を有することを確認する。

支持地盤の極限支持力度は、建築基礎構造設計指針（日本建築学会、1988及び2001）（以下「基礎指針1988」及び「基礎指針2001」という。）の支持力算定式に基づき、対象施設の支持地盤の室内試験結果から算定する方法、又は地盤工学会基準（JGS 1521-2003）地盤の平板載荷試験方法から極限支持力度を設定する。

杭基礎の押込み力に対する支持力評価には、杭先端の支持岩盤への接地圧並びに杭周面地盤の地盤改良体及び支持岩盤への杭根入れ部分の杭周面摩擦力により算定される極限支持力を考慮することを基本とする。

杭基礎の引抜き力に対する支持力評価には、杭周面地盤の地盤改良体及び支持岩盤への杭根入れ部分の杭周面摩擦力により算定される支持力を考慮することを基本とする。

3. 対象施設周辺の地質等

対象施設周辺の地質及び地下水位分布については、「耐震建物08 設工認に係る補足説明資料 耐震設計の基本方針に関する地震応答解析における地盤モデル及び物性値の設定について」及び「耐震建物13 設工認に係る補足説明資料 耐震設計の基本方針に関する建物・構築物周辺の設計用地下水水位の設定について」に示している。

4. 地盤の解析用物性値

4.1 事業変更許可申請書に記載された解析用物性値

事業変更許可申請書に記載された解析用物性値は、再処理施設の「IV-1-1-2 地盤の支持性能に係る基本方針」及びMOX燃料加工施設の「III-1-1-2 地盤の支持性能に係る基本方針」に示している。

4.2 事業変更許可申請書に記載されていない解析用物性値

事業変更許可申請書に記載されていない解析用物性値は、再処理施設の「IV-1-1-2 地盤の支持性能に係る基本方針」及びMOX燃料加工施設の「III-1-1-2 地盤の支持性能に係る基本方針」に示している。

4.2.1 有効応力解析に用いる解析用物性値

建物・構築物の動的解析において、地震時における地盤の有効応力の変化に応じた影響を考慮する場合は、有効応力解析を実施する。

地盤の液状化強度特性は、代表性及び網羅性を踏まえた上で保守性を考慮し、敷地全体の液状化強度試験から得られる液状化強度特性を保守的に包絡値に設定する。

なお、地盤の物理的及び力学的特性は、日本産業規格（JIS）又は地盤工学会（JGS）の基準に基づいた試験の結果から設定することとした。

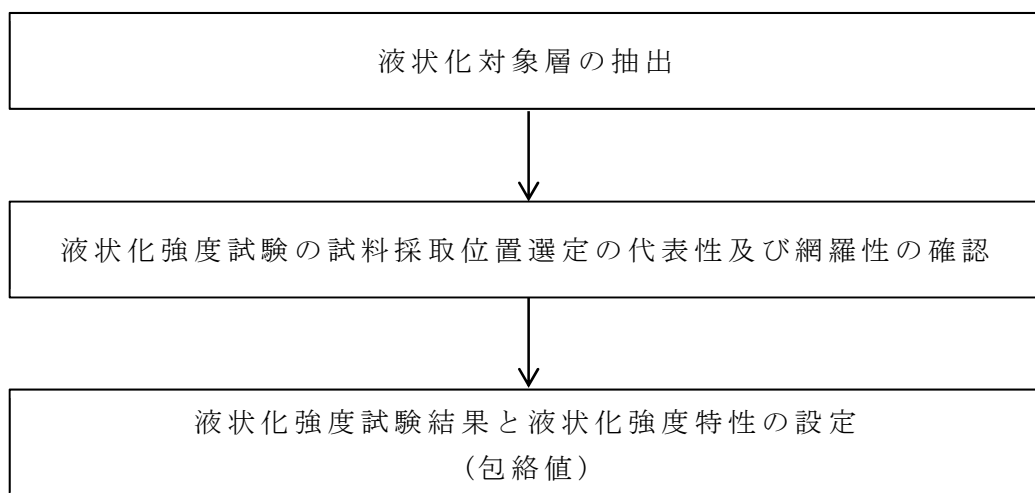
本資料は、第1回申請の対象施設を対象とした記載とした部分があることから、当該施設周囲に存在する液状化対象層に限定している。第2回申請時等においては、申請対象の周囲に存在する液状化対象層を踏まえて、記載を拡充していく。

(1) 液状化影響評価検討方針の概要

第4-1図に液状化影響評価のフローを示す。

- ・液状化影響検討については、対象施設の周辺地盤から「道路橋示方書・同解説（V耐震設計編）、平成24年3月」（以下、「道路橋示方書」という。）に示される液状化の判定を行う必要がある土層の評価の手順により、埋戻し土を液状化対象層とする。（(2)液状化対象層の抽出）
- ・液状化対象層として抽出した埋戻し土の液状化強度試験の試料採取位置について、敷地全体に分布する埋戻し土の基本物性と比較し、その代表性及び網羅性を確認する。（(3)液状化強度試験の試料採取位置の代表性及び網羅性の確認）

- ・液状化強度試験結果に基づいて，地震時の地盤の液状化現象の有無について把握したうえで，液状化強度特性は保守的に包絡値に設定する。
((4)液状化強度試験と液状化強度特性の設定)



第 4-1 図 液状化強度特性設定のフロー

(2) 液状化対象層の抽出

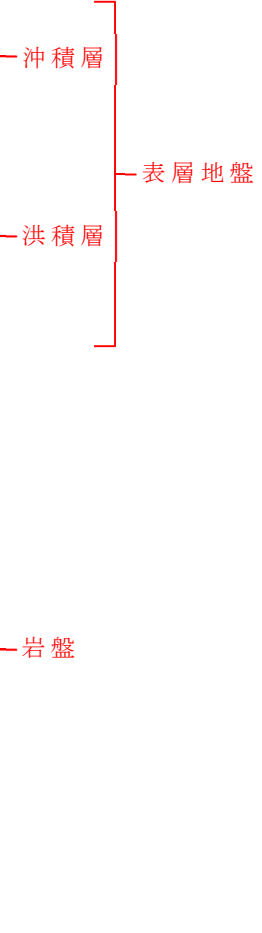
a. 敷地地盤の概要

再処理事業所における表層地盤には，第 4-1 表に示す沖積層及び洪積層のほか，埋戻し土が存在する。

埋戻し土は，施設建設時の埋戻しにより，敷地のほぼ全域にわたって分布しているが，第 1 回申請対象施設である安全冷却水 B 冷却塔(A4B)の周囲にある液状化対象層は埋戻し土のみが該当することから，液状化影響評価に当たっては，埋戻し土を液状化対象層として整理する。

第 4-1 表 事業変更許可申請書における地質層序表

地質時代	地層名	記号	主な層相及び岩相			
新紀	完新世	崖錐堆積層	dt	礫, 砂, 粘土		
		沖積低地堆積層	al	礫, 砂, 粘土, 腐植土		
	四更期	火山灰層	lm	褐色の粘土質火山灰		
		中段丘堆積層	M2, M1	主に石英粒子からなる淘汰の良い中粒砂～粗粒砂		
		高位段丘堆積層	H5	主に石英粒子からなる淘汰の良い中粒砂～粗粒砂		
	新前期	六ヶ所層	R	砂, シルト, 礫		
		砂子又層	下部層	S1	凝灰質砂岩	
	新生代	鮮新世	上部層 (T3)	泥岩層	T3ms	泥岩 一部に凝灰岩を挟む。
			礫混り砂岩層	T2ss	礫混り砂岩	
		中新世	鷹架層 (T2)	軽石混り砂岩層	T2ps	砂岩・凝灰岩互層 礫混り砂岩 砂岩・泥岩互層 軽石混り砂岩(3) 砂質軽石凝灰岩(2) 軽石混り砂岩(2) 砂質軽石凝灰岩(1) 軽石混り砂岩(1)
軽石凝灰岩層				T2pt	凝灰岩 軽石凝灰岩 軽石質砂岩 礫岩	
粗粒砂岩層				T2cs	砂質軽石凝灰岩 粗粒砂岩	
下部層 (T1)				細粒砂岩層	T1fs	細粒砂岩 一部に粗粒砂岩を挟む。
泥岩層		T1ms	泥岩 一部に凝灰質砂岩, 砂質軽石凝灰岩を挟む。			



注) —— は、整合関係を示す。～は、不整合関係を示す。
 主な層相及び岩相の上下順序は、層位関係を示す。
 【注】：従来「砂子又層上部層」としていた地層のうち、敷地近傍の第四系下部～中部更新統について、「六ヶ所層」と仮称する。

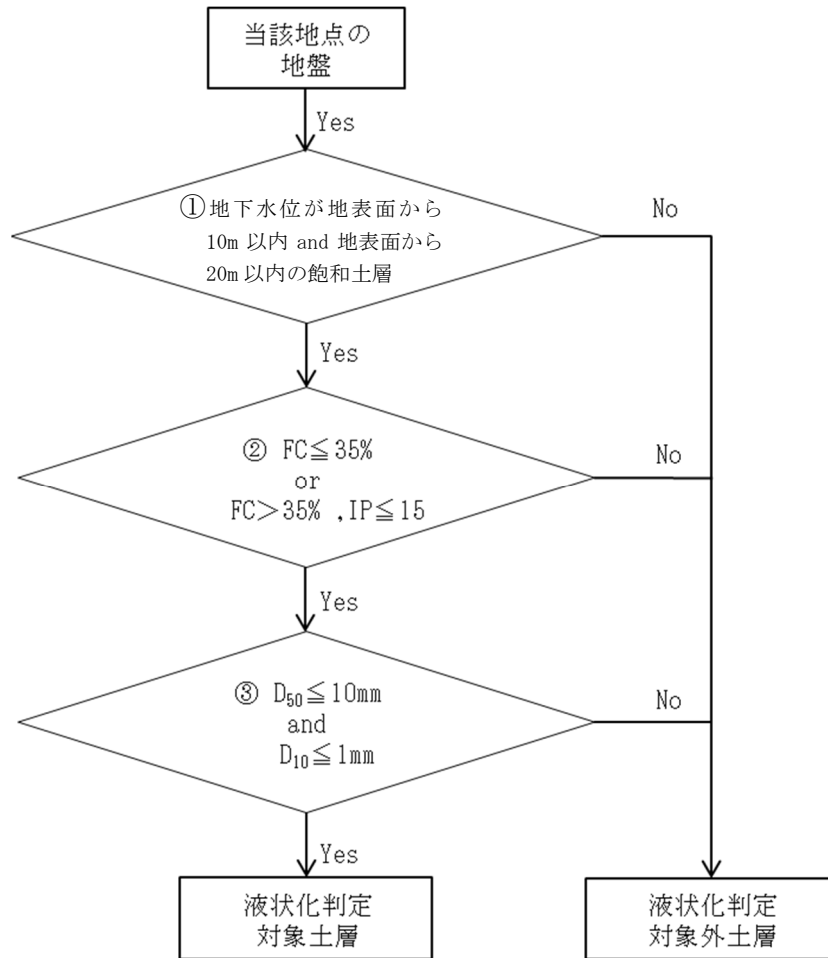
b. 液状化対象層

埋戻し土について、道路橋示方書の液状化の判定を行う必要がある土層の評価の手順に基づいて、液状化対象層に該当することを確認する。

同示方書によれば、沖積層の土層で以下の3つの条件すべてに該当する場合に、地震時の液状化の判定を行う必要があるとされている(第4-2図参照)。

- ① 地下水位が地表面から10m以内にあり、かつ、地表面から20m以内の深さに存在する飽和土層
- ② 細粒分含有率FCが35%以下の土層、または、FCが35%を超えても塑性指数 I_p が15以下の土層
- ③ 50%粒径 D_{50} が10mm以下で、かつ、10%粒径 D_{10} が1mm以下である土層

上記の手順に基づき、埋戻し土が液状化発生の可能性がある液状化対象層に該当することを確認した(第4-2表参照)。



第 4-2 図 液状化の判定を行う必要がある土層の評価の手順

第 4-2 表 液状化対象層の抽出結果

条 件	埋戻し土の状況	判 定
① 地下水位が地表面から 10m 以内にあり、かつ地表面から 20m 以内の深さに存在する飽和土層	地下水位は地表面に設定	該当
② 細粒分含有率 FC が 35% 以下の土層、または FC が 35% を超えても塑性指数 Ip が 15 以下の土層	細粒分含有率 FC が 13～35% (平均 25%) 程度	該当
③ 50% 粒径 D ₅₀ が 10mm 以下で、かつ 10% 粒径 D ₁₀ が 1mm 以下である土層	50% 粒径 D ₅₀ が 0.174～1.830mm 程度、10% 粒径 D ₁₀ は最大で 0.044mm 程度	該当

(3) 液状化強度試験の試料採取位置の代表性及び網羅性の確認

埋戻し土の液状化強度試験試料が敷地内の液状化強度を代表できることを示す。埋戻し土に対し、液状化強度比 R_L と相関性のある指標（基本物性）を抽出の上、液状化強度試験箇所と敷地全体における指標の比較を行うことにより、その妥当性を確認した。液状化強度比 R_L と相関性のある指標として、粒度分布、細粒分含有率、 N 値を比較することにより、液状化強度試験の代表性及び網羅性を確認した。各指標の選定理由を以下に示す。

① 粒度分布

粒径加積曲線から求められる粒度分布は、基本的な土の物性値であり、各基準類における液状化判定において平均粒径、10%粒径が用いられており、液状化強度比 R_L との相関が高いことから選定した。

② 細粒分含有率

細粒分含有率は、各基準類の液状化判定における液状化強度比 R_L の算定式において、液状化強度比 R_L を補正するパラメータとして用いられており、液状化強度比 R_L との相関が高いことから選定した。

③ N 値

N 値は、各基準類の液状化判定における液状化強度比 R_L の算定式がいずれも N 値をパラメータとした式であり、また、有効応力解析コード (FLIP) の簡易パラメータ設定法に N 値が用いられており、液状化強度比 R_L との相関が高いことから選定した。

埋戻し土の液状化強度試験の試料採取位置を第 4-3 図及び第 4-4 図に示す。埋戻し土は、敷地の埋戻し土の分布範囲をおおむね網羅する箇所で液状化強度試験を実施していることを確認した。

粒度分布については、液状化強度試験に用いた埋戻し土の供試体は、敷地全体から採取した供試体の中で細粒分が少ない部分で実施していることを確認した（第 4-5 図）。これは液状化強度試験に用いた供試体が敷地全体から採取した供試体の中で液状化しやすい傾向があることを示す。

細粒分含有率については、おおむね敷地全体から採取した供試体における平均値 $\pm 1\sigma$ の範囲内で、液状化強度試験を実施していることを確認した（第 4-6 図）。

N 値については、おおむね敷地全体の平均値 $\pm 1\sigma$ の範囲で液状化強度試験を実施していることを確認した（第 4-7 図）。

以上より、埋戻し土の液状化強度試験の試料採取位置については、敷地全体の粒度分布に対し、主に細粒分が少ない供試体で試験を実施

していること、細粒分含有率及びN値が敷地内調査孔の平均値 $\pm 1\sigma$ の範囲内であることから、敷地内の埋戻し土に対して代表性及び網羅性を有していることを確認した。

第1回申請対象の安全冷却水B冷却塔(A4B)近傍の埋戻し土について、上記パラメータは、おおむね敷地全体と同じ傾向を示している。N値については、別紙に示すボーリング柱状図及びコア写真のとおり、N=9~24程度(深部でN=3,6があるが局所的)となっており、敷地全体の平均と比して高い傾向にある。ただし、第4-6図に示す細粒分含有率(図中の緑×印)については敷地全体と比して低い傾向にあるため、第4-8図のとおり、上記パラメータと相関がある液状化強度比 R_L を算出して比較した。なお、液状化強度比 R_L 算出にあたっては、第4-9図に示すとおり道路橋示方書に基づくものとし、同じ深度で細粒分含有率 F_c とN値が両方得られているものに限定した。

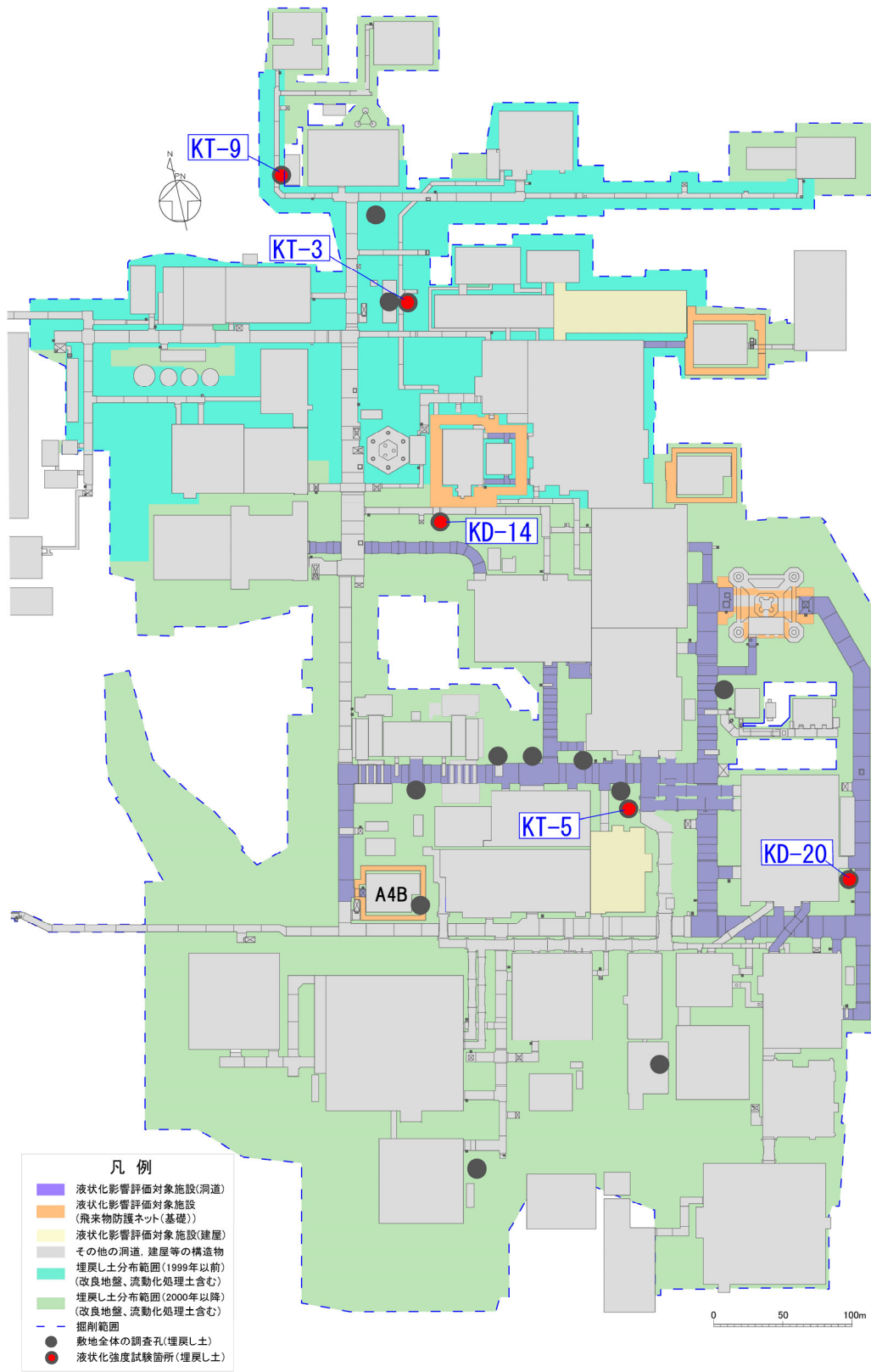
第1回申請対象の安全冷却水B冷却塔(A4B)近傍の液状化強度比 R_L (図中の緑丸印)は、敷地全体(図中の黒丸印)と比して高いことから安全冷却水B冷却塔(A4B)に対する液状化評価における物性設定が妥当であることを確認した。また、液状化試験箇所の液状化強度比 R_L (図中の赤丸印)は敷地全体と比して低いことから液状化試験結果で設定している物性値は保守性を有していることを確認した。

埋戻し土は第4-3表に示すとおり、1999年以前と2000年以降の埋戻し実施時期により品質管理が異なっているが、同等の力学特性が得られるような管理をしている。

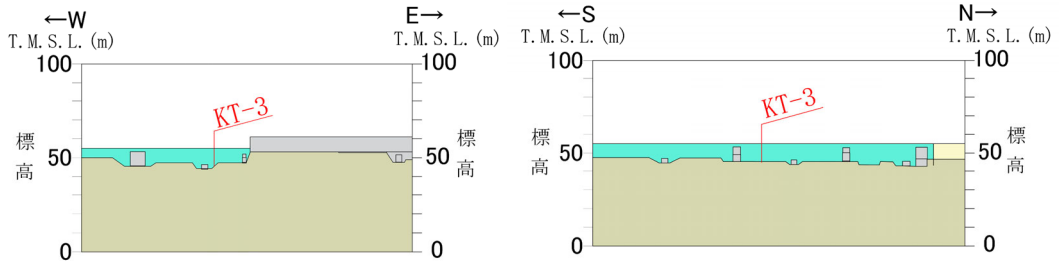
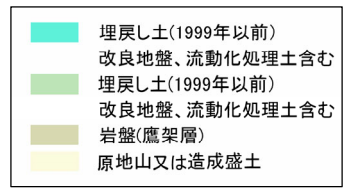
1999年以前の埋戻し土については、敷地北側のエリアにおいて撒き出した各層毎にコーン貫入試験を実施しており、一軸圧縮試験 qu と同等の評価ができるコーン貫入抵抗により管理を行っている。2000年以降は、敷地南側のエリアにおいて締固め度 $D_c=90\%$ 以上を締固め仕様として管理を行っている。両者とも振動ローラ、ブルドーザ等により転圧して管理基準に基づく施工管理を実施しており、最大乾燥密度と最適含水比による材料基準により土質材料としては十分に締め固まった状態である。

粒度分布及び細粒分含有率については、第4-5図及び第4-6図に示すとおり、1999年以前はばらつきが大きいものの、平均、最大値及び最小値はおおむね2000年以降と同じである。

また、N値については、第4-7図に示すとおり、施工年代別に偏りはないことから、これらは同じ埋戻し土としての品質が確保されていることを確認した。



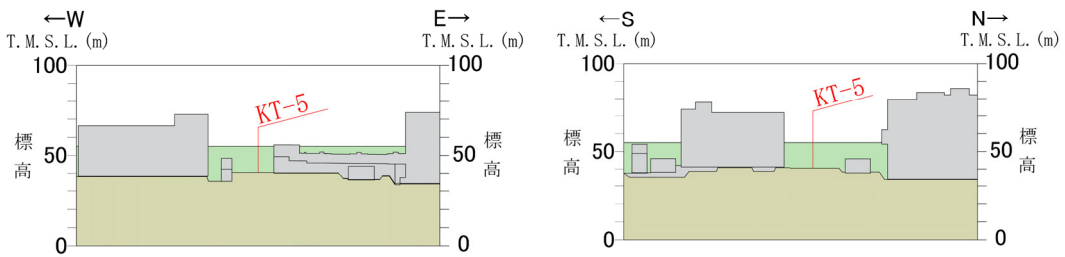
第 4-3 図 埋戻し土の液状化強度試験の試料採取位置



EW 方向

NS 方向

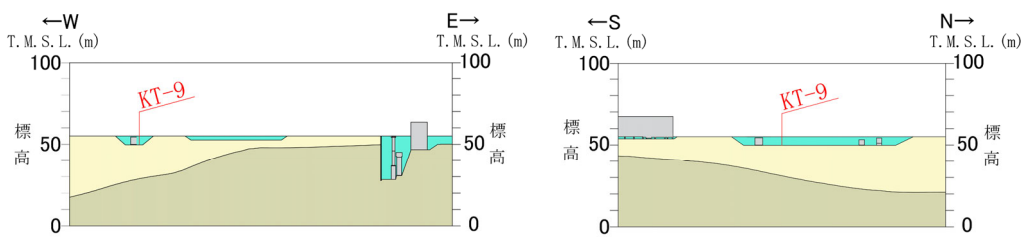
KT-3 断面



EW 方向

NS 方向

KT-5 断面

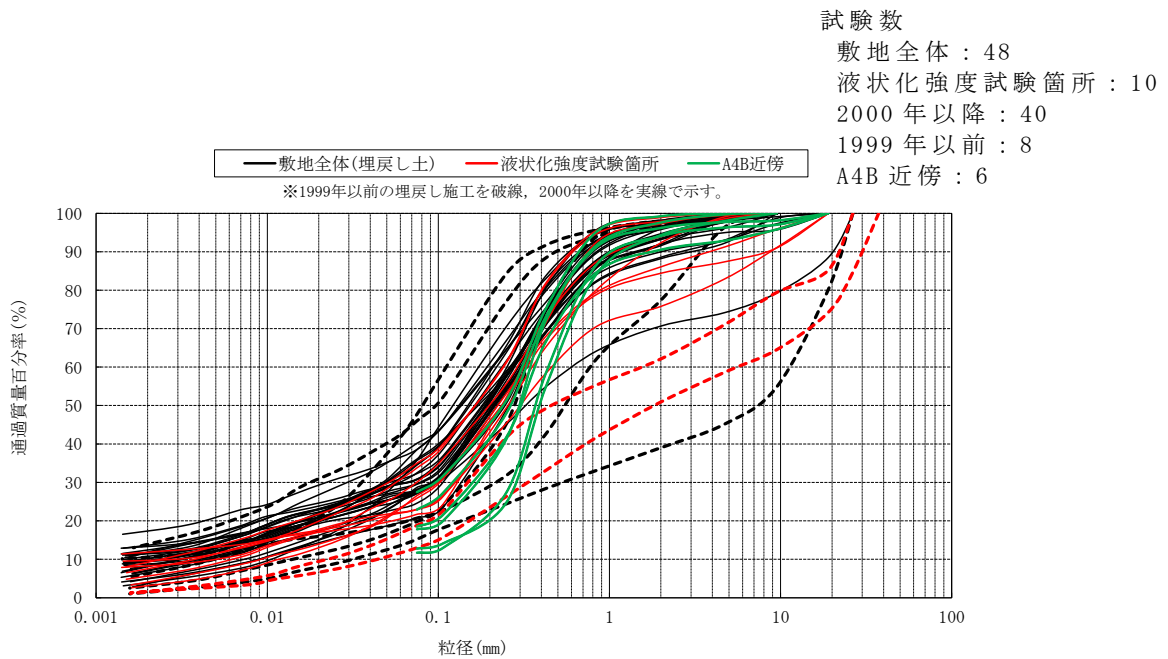


EW 方向

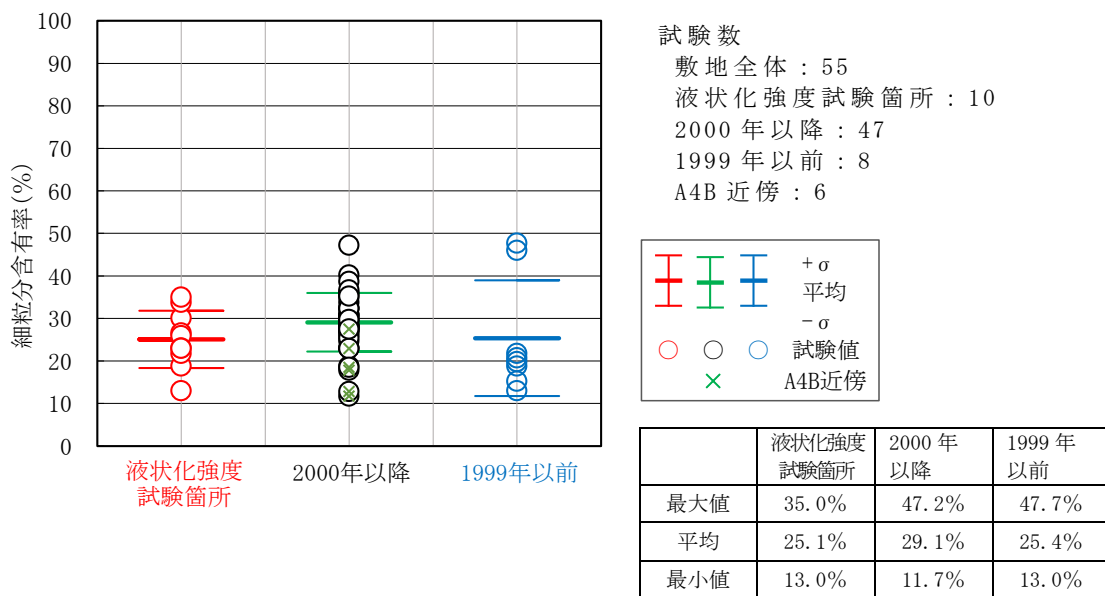
NS 方向

KT-9 断面

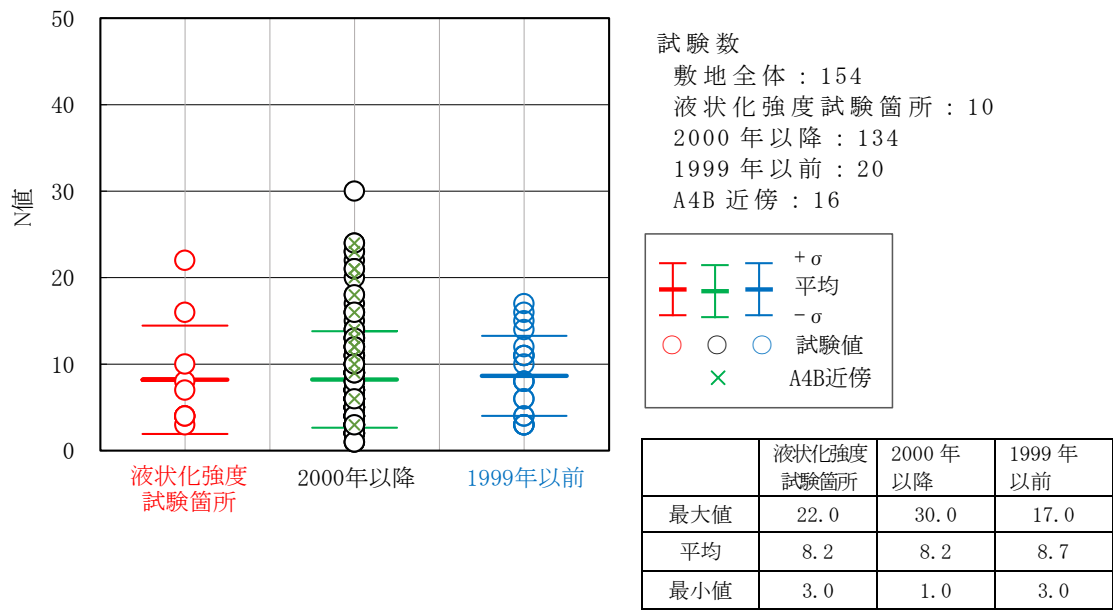
第 4-4 図 (1/2) 埋戻し土の液状化強度試験の試料採取位置断面図



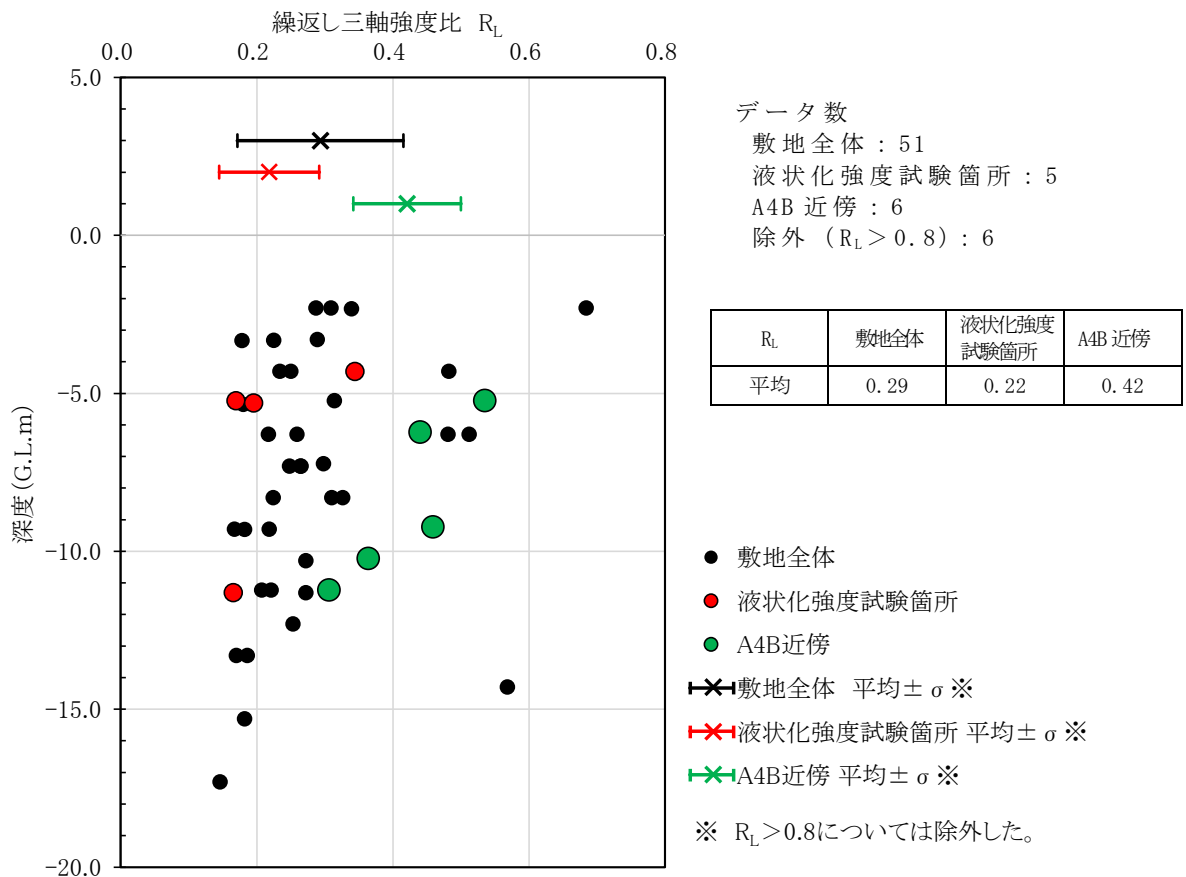
第 4-5 図 埋戻し土の粒度分布の比較



第 4-6 図 埋戻し土の細粒分含有率の比較



第 4-7 図 埋戻し土の N 値の比較



第 4-8 図 埋戻し土の液状化強度比 R_L 値の比較

(3) 繰返し三軸強度比

繰返し三軸強度比 R_L は式 (8.2.7) により算出する。

$$\left. \begin{aligned} R_L &= 0.0882 \sqrt{N_a/1.7} && (N_a < 14) \\ R_L &= 0.0882 \sqrt{N_a/1.7} + 1.6 \times 10^{-6} \cdot (N_a - 14)^{4.5} && (14 \leq N_a) \end{aligned} \right\} \dots\dots (8.2.7)$$

ここに,

<砂質土の場合>

$$N_a = c_1 N_1 + c_2 \dots\dots\dots (8.2.8)$$

$$N_1 = 170N / (\sigma_{vb}' + 70) \dots\dots\dots (8.2.9)$$

$$\left. \begin{aligned} c_1 &= 1 && (0\% \leq FC < 10\%) \\ c_1 &= (FC + 40) / 50 && (10\% \leq FC < 60\%) \\ c_1 &= FC / 20 - 1 && (60\% \leq FC) \end{aligned} \right\} \dots\dots\dots (8.2.10)$$

$$\left. \begin{aligned} c_2 &= 0 && (0\% \leq FC < 10\%) \\ c_2 &= (FC - 10) / 18 && (10\% \leq FC) \end{aligned} \right\} \dots\dots\dots (8.2.11)$$

<れき質土の場合>

$$N_a = \{1 - 0.36 \log_{10}(D_{50}/2)\} N_1 \dots\dots\dots (8.2.12)$$

ここに,

R_L : 繰返し三軸強度比

N : 標準貫入試験から得られる N 値

N_1 : 有効上載圧 100 kN/m^2 相当に換算した N 値

N_a : 粒度の影響を考慮した補正 N 値

σ_{vb}' : 標準貫入試験を行ったときの地表面からの深さにおける有効上載圧 (kN/m^2)

c_1, c_2 : 細粒分含有率による N 値の補正係数

FC : 細粒分含有率 (%) (粒径 $75 \mu\text{m}$ 以下の土粒子の通過質量百分率)

D_{50} : 50% 粒径 (mm)

第 4-9 図 道路橋示方書における繰返し三軸強度比の算出方法
(引用: (社) 日本道路協会, 道路橋示方書・同解説 V 耐震設計編, 平成 24 年 3 月)

第 4-3 表 埋戻し土の密度及び力学特性に係る品質管理一覧

施工年	材料基準	締固め仕様
1999 年以前	段丘砂 (中位段丘) 最大乾燥密度, 最適含水比	コーン貫入抵抗 $q_c \geq 1.0 \text{ MPa}$ (道路土工施工指針: (社) 日本道路協会) $q_u = 0.2 \times q_c = 0.2 \times 1.0 = 0.2 \text{ MPa}^*$
2000 年以降	ブレンド材 (鷹架層及び六ヶ所層) 最大乾燥密度, 最適含水比	締固め度 $D_c \geq 90\%$

※再処理施設及び MOX 燃料加工施設事業変更許可申請書における埋戻し土の強度特性のうち,

$$\text{非排水せん断強度 } s_u = 0.049 + 0.761p \text{ (MPa) より}$$

深度 10m 相当の圧密応力 $p = 0.08 \text{ MPa}$ のとき, $s_u = 0.11 \text{ MPa}$ となる。

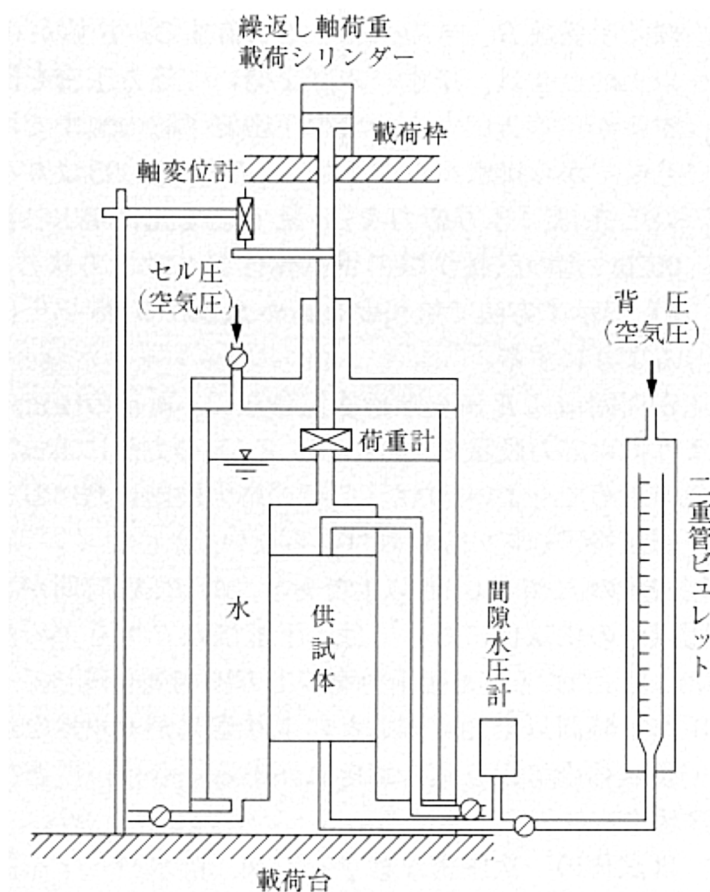
(4) 液状化強度試験と液状化強度特性の設定

a. 液状化強度試験方法

埋戻し土に対し，地盤の液状化強度特性を求めるための「土の繰返し非排水三軸試験方法（JGS 0541）」に基づき試験を実施する。試験装置の概要を第4-10図に示す。なお，供試体は孔径86mmのロータリー式三重管サンプラーにより採取した不攪乱試料とした。

【試験条件】

- ・ 供試体寸法：外径50mm，高さ100mm
- ・ 荷重波形：正弦波（0.1Hzまたは0.5Hz）
- ・ 拘束圧：供試体平均深度の有効土被り圧を考慮して設定
- ・ 軸ひずみ5%あるいは10%に達するまで，または繰返し回数200回を超えるまで試験を実施
- ・ 所定の軸ひずみ（1%、2%、5%、10%）及び過剰間隙水圧比0.95の繰返し回数を評価



第4-10図 繰返し非排水三軸試験装置の概要

(引用：(社)地盤工学会，地盤材料試験の方法と解説 [第一回改訂版]，2020)

b. 液状化強度試験結果の分類に対する考え方

液状化強度試験の結果は、土木学会地震工学委員会の報告書に基づき、第 4-4 表に示す判定項目に従い分類する。

第 4-4 表 液状化強度試験結果の判定項目と分類

判定項目	液状化	繰返し軟化		非液状化
			サイクリックモビリティ	
間隙水圧が上昇・蓄積する。 (過剰間隙水圧比が 95%を超える)	○	○	○	×
有効応力がゼロまで低下する。	○	×	○	×
液体状となり流動化する。 (ひずみが急増する)	○	×	×	×
正のダイレイタンシー特性によりせん断抵抗が作用しない。 (有効応力が回復しない)	○	×	×	○or×

c. 液状化強度試験結果

埋戻し土に対する液状化強度試験の試験ケース及び結果を第 4-5 表に示す。なお、液状化強度試験の詳細（せん断ひずみ時刻歴、過剰間隙水圧時刻歴等）を別紙に示す。

埋戻し土の液状化強度試験の結果は、有効応力がゼロになるケースと完全にはゼロにはならないケースが確認された。また、過剰間隙水圧比は、すべてのケースで間隙水圧が 95%を超過するものの、せん断応力作用時には正のダイレイタンシーの効果により、過剰間隙水圧は低下する傾向が確認された。試験全数のうち約 7 割程度が繰返し軟化と判断されることから、施設全体の埋戻し土は、ひずみが漸増するねばり強い挙動を示すことを確認した。

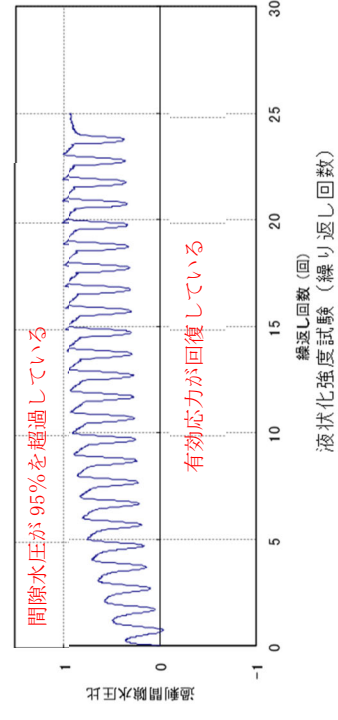
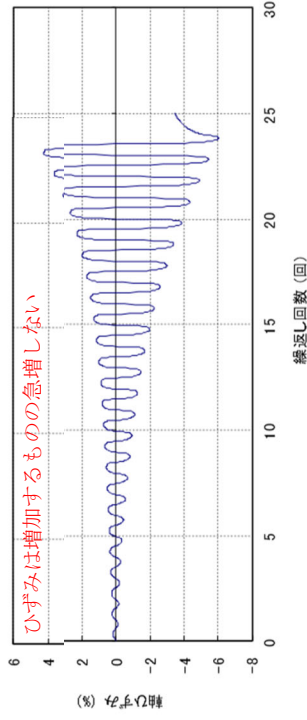
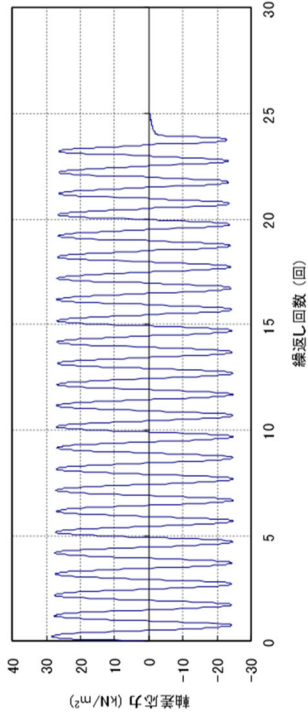
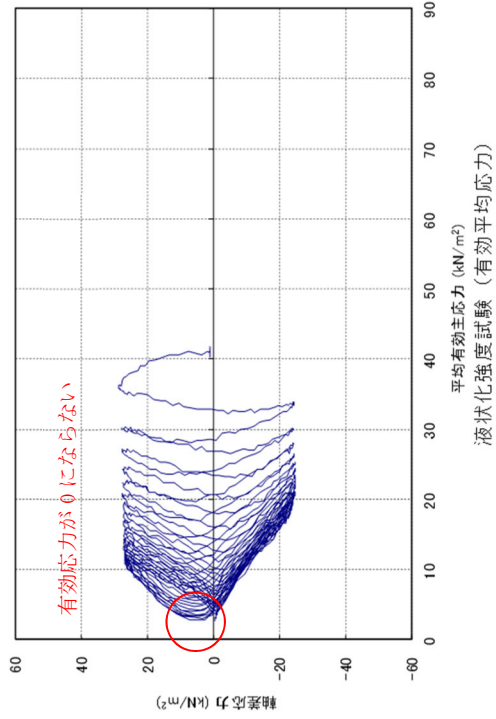
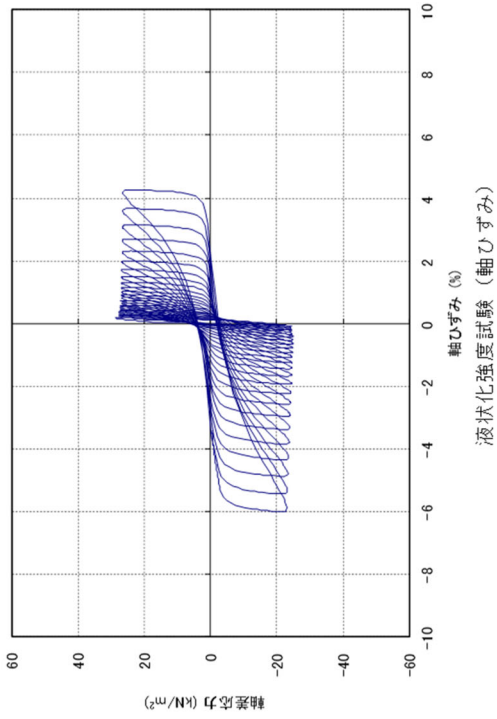
上記を踏まえ、液状化影響を考慮する必要がある施設の耐震評価に当たっては、有効応力解析により過剰間隙水圧の上昇に伴う埋戻し土の剛性低下を考慮した評価を行う方針とする。

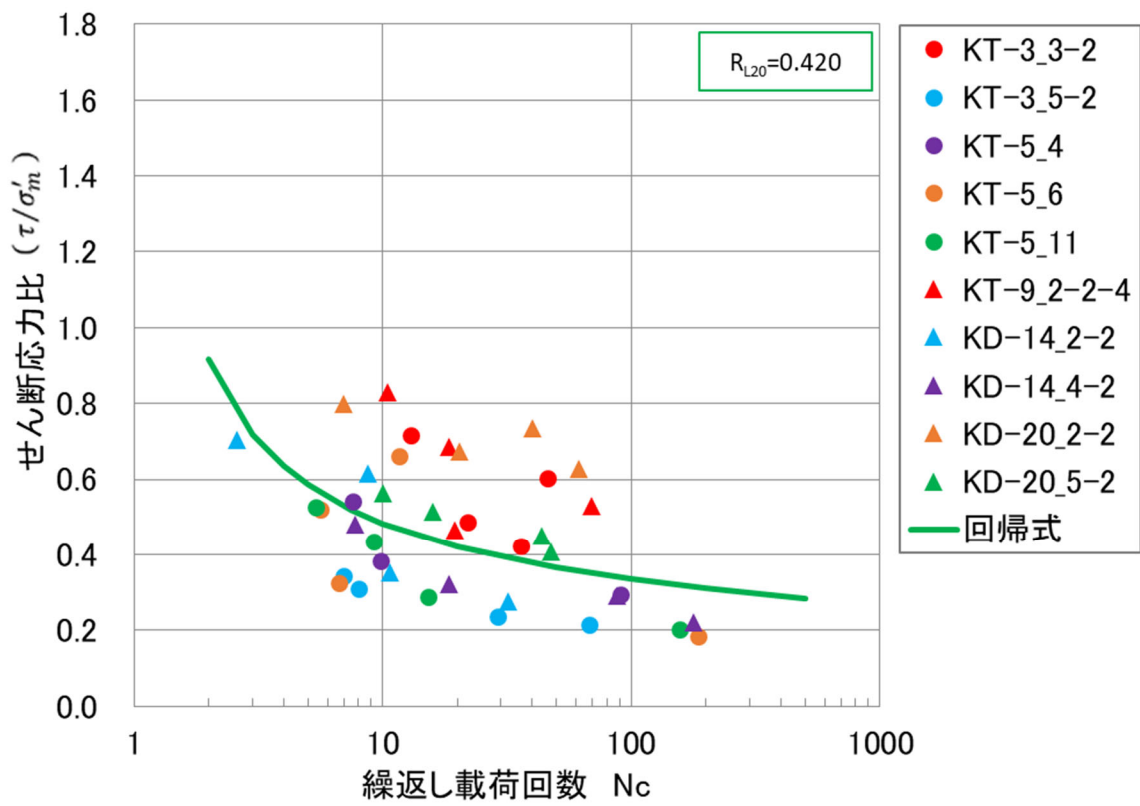
埋戻し土の液状化強度試験結果の代表例として、KD-14_4-2 試料の供試体 No. 2 の試験結果を第 4-11 図に示す。KD-14_4-2 試料の供試体 No. 2 は、有効応力がゼロになることは無く、地盤が支持力を完全に失い液状化するような事象は発生しなかった。繰返し荷重により、ひずみが漸増し、過剰間隙水圧比は 95%を超過するものの、せん断応力作用時には正のダイレイタンシーの効果により、過剰間隙水圧は低下し、有効応力が回復している。また、試験後の供試体写真より、試験後においても自立していることが確認できる。

埋戻し土の液状化強度試験結果から，繰返し載荷回数 20 回に該当する液状化強度比 R_{L20} を回帰式から算出すると， $R_{L20}=0.420$ である（第 4-12 図）。

第 4-5 表 液状化強度試験結果（埋戻し土）

試料番号	供試体 番号	繰返し応力 振幅比 $\sigma_d/2\sigma'_c$	繰返し载荷回数				過剰間隙水圧 比95%
			軸ひずみの両振幅				
			DA=1%	DA=2%	DA=5%	DA=10%	
KT-3_3-2	1	0.488	3.5	9.5	22	36	10
	2	0.717	0.75	3	13	36	3
	3	0.604	2	10	46	131	6
	4	0.421	7	16	36	70	11
KT-3_5-2	1	0.215	48	55	68	85	62
	2	0.235	17	21	29	38	23
	3	0.343	2	4	7	10	7
	4	0.31	3	5	8	12	7
KT-5_4	1	0.543	1.1	3.3	7.6	11.3	6
	2	0.382	1.8	4.6	9.8	19.6	10
	3	0.294	37	61	91	121	50
KT-5_6	1	0.326	1.6	3.2	6.7	14.1	4
	2	0.183	163	173	186	221	175
	3	0.662	0.61	1.8	11.7	32	3
	4	0.521	0.62	1.7	5.6	11	2
KT-5_11	1	0.288	6.6	10.7	15.3	18.1	14
	2	0.434	1.2	4.2	9.2	14.9	8
	3	0.526	0.6	1.6	5.4	10	4
	4	0.203	127	144	157	170	137
KT-9_2-2-4	1	0.530	10.5	22	69.5		30
	2	0.466	0.4	0.8	19.5		9
	3	0.828	0.7	3	10.5		7
	4	0.686	2	5	18.5		11
KD-14_2-2	1	0.616	1.6	3	8.7	14.7	10
	2	0.275	12.9	21	32	42	24
	3	0.353	1.8	4	10.7	23	8
	4	0.705	0.37	0.75	2.6	6.6	3
KD-14_4-2	1	0.482	1.3	3.7	7.8	11	5
	2	0.322	7.1	11.7	18.5	24	15
	3	0.222	134	148	179	203	132
	4	0.29	34	56	88	123	47
KD-20_2-2	1	0.736	5.5	17	40		16
	2	0.672	2	7	20.5		10
	3	0.627	6	18	61.5		35
	4	0.8	0.7	2	7		5
KD-20_5-2	1	0.451	14.5	25	43.5		30
	2	0.564	0.9	3	10		4
	3	0.515	3	8.5	16		15
	4	0.408	18	28	47.5		37





第 4-12 図 埋戻し土の液状化強度試験結果及び R_{L20}

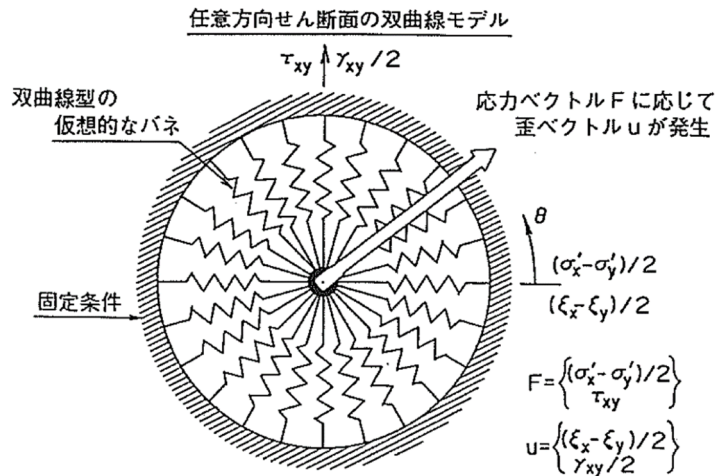
c. 有効応力解析の液状化強度特性の設定方針

(a) 有効応力解析コード FLIP について

有効応力解析コード FLIP (Finite element analysis of Liquefaction Program) は、1988年に運輸省港湾技術研究所(現、(国研)港湾空港技術研究所)において開発された平面ひずみ状態を対象とする有効応力解析法に基づく2次元地震応答解析プログラムである。地盤の過剰間隙水圧の上昇を適切に考慮できる解析コードとして、港湾の施設の設計を中心に数多くの実績を有しており、FLIPの主な特徴として、以下の①～⑤を挙げることができる。

- ① 有限要素法に基づくプログラムである。
- ② 平面ひずみ状態を解析対象とする。
- ③ 地盤の有効応力の変化を考慮した地震応答解析を行い、部材断面力や変形量を計算する。
- ④ 土の応力-ひずみモデルとしてマルチスプリング・モデルを採用している。
- ⑤ 有効応力の変化は有効応力法により考慮する。そのために必要な過剰間隙水圧算定モデルとして井合モデルを用いている。

砂の変形特性を規定するマルチスプリング・モデルは、任意方向のせん断面において仮想的な単純せん断バネの作用があるものとし、これらのせん断バネの作用により、土全体のせん断抵抗が発揮されるものである。土の応力-ひずみ関係は、このせん断バネの特性によって種々の表現が可能であるが、FLIPでは双曲線(Hardin-Drnevich)型モデルを適用している。また、履歴ループについては、その大きさを任意に調整可能なように拡張したMasing則を用いている。第4-13図にマルチスプリング・モデルの概念図を、第4-14図に非排水条件での土の応力-ひずみ関係の概念図を示す。



第 4-13 図 マルチスプリング・モデルの概念図
 (引用：港湾技研資料 NO. 869 「液状化による構造物被害予測プログラム
 FLIP において必要な各種パラメタの簡易設定法」, 1997. 4)

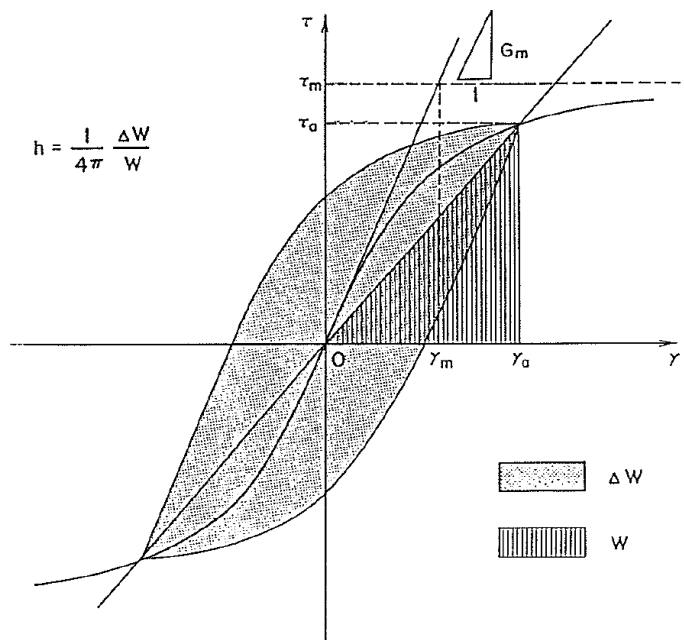


図-2 排水条件での砂の応力ひずみ関係の概念図

第 4-14 図 非排水条件での土の応力 - ひずみ関係の概念図
 (引用：港湾技研資料 NO. 869 「液状化による構造物被害予測プログラム
 FLIP において必要な各種パラメタの簡易設定法」, 1997. 4)

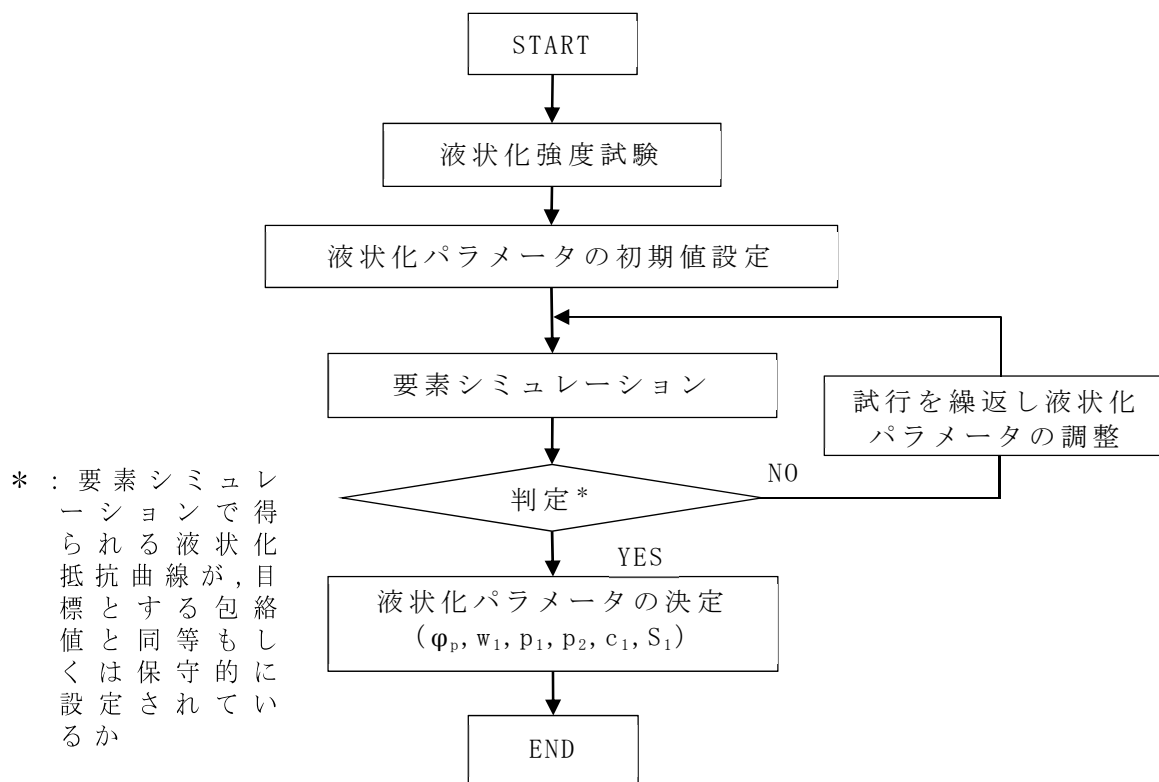
(b) 解析パラメータの設定方針

FLIP では、動的変形特性を規定するパラメータと、過剰間隙水圧の発生を規定するパラメータを設定する必要がある（本資料では液状化特性を規定するパラメータを「液状化パラメータ」という。）。FLIP における解析パラメータを第 4-6 表に示す。このうち、液状化パラメータは液状化対象層にのみ設定する。

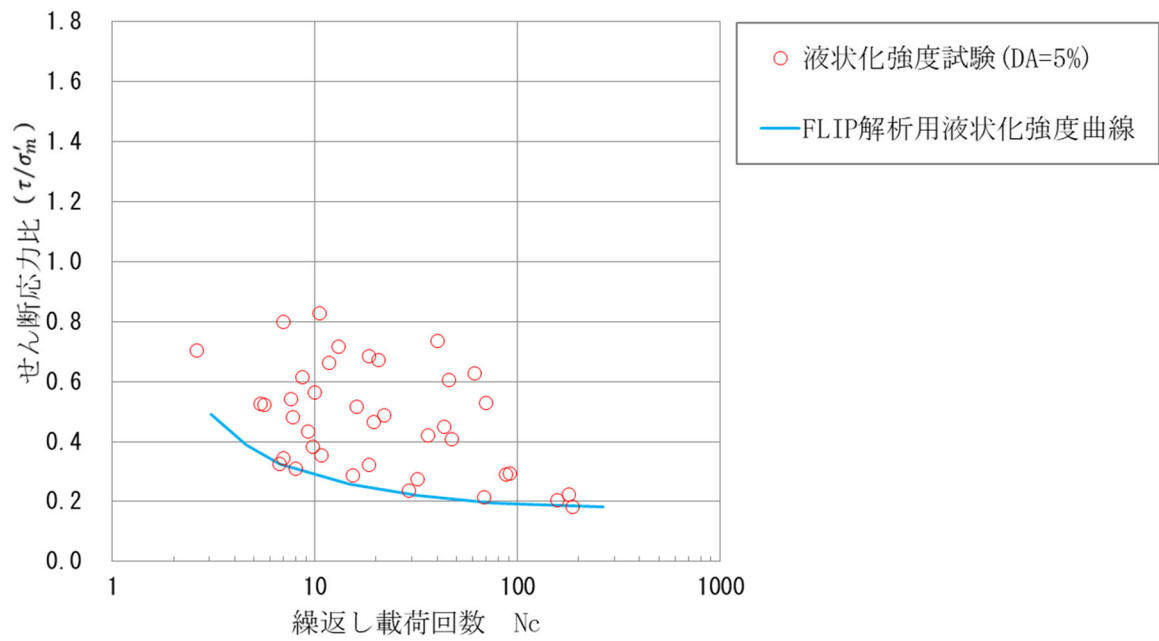
液状化パラメータは、要素シミュレーションを実施し、これにより得られる解析上の液状化抵抗曲線が、液状化強度試験結果に対して、包絡値となるように設定することを基本とする。第 4-15 図に液状化パラメータの設定フローを示す。第 4-16 図に埋戻し土の設定した要素シミュレーション上の液状化抵抗曲線を示す。以上のように設定した液状化パラメータを第 4-7 表に示す。

第 4-6 表 FLIP において必要となる解析パラメータ

分類	解析パラメータ	
動的変形特性	G_{ma}	動せん断弾性係数 ($\sigma_m' = \sigma_{ma}'$ における値)
	K_{ma}	体積弾性係数 ($\sigma_m' = \sigma_{ma}'$ における値)
	ϕ_f	内部摩擦角
	h_{max}	履歴減衰の上限値
液状化特性	ϕ_p	変相角
	w_1	液状化特性全体を規定するパラメータ
	p_1	液状化特性の前半を規定するパラメータ
	p_2	液状化特性の後半を規定するパラメータ
	c_1	液状化発生の下限值を規定するパラメータ
	S_1	液状化の終局状態を規定するパラメータ



第 4-15 図 FLIP における液状化パラメータの設定フロー



第 4-16 図 液状化強度試験結果と液状化強度特性の設定（埋戻し土）

第 4-7 表 埋戻し土の液状化パラメータ

	Φ_p ($^{\circ}$)	w_1	p_1	p_2	c_1	S_1
埋戻し土	34.0	10.30	0.50	1.00	1.81	0.005

4.2.2 その他の解析用物性値

(1) マンメイドロック

マンメイドロック（以下「MMR」という。）（コンクリート）については、再処理施設の「Ⅳ-1-1-2 地盤の支持性能に係る基本方針」及びMOX燃料加工施設の「Ⅲ-1-1-2 地盤の支持性能に係る基本方針」に示している。

(2) 改良地盤

改良地盤については、再処理施設の「Ⅳ-1-1-2 地盤の支持性能に係る基本方針」に示している。

5. 地盤の支持力度

地盤の極限支持力度は岩石試験及び支持力試験結果を基に設定する。短期許容支持力度については、算定された極限支持力度の2/3倍として設定する。

なお、本資料は、第1回申請施設を対象とした記載とした部分があることから、第2回申請時等の申請対象を踏まえて、記載を拡充していく。

5.1 直接基礎の支持力算定式

直接基礎の支持力度について、既設工認に係る使用前検査（以下「使用前検査」という。）を実施している場合は、使用前検査成績書における岩石試験結果を用いて、「建築基礎構造設計指針（（社）日本建築学会，1988年）」（以下、「基礎指針1988」という。）又は「建築基礎構造設計指針（（社）日本建築学会，2001年）」（以下、「基礎指針2001」という。）による算定式に基づき設定する。また、使用前検査を実施していない場合は、地盤工学会基準（JGS 1521-2003）地盤の平板載荷試験方法により設定する。

5.1.1 安全冷却水 B 冷却塔基礎における極限支持力度

安全冷却水 B 冷却塔 (A4B) 基礎における算定値の詳細について以下に示す。

安全冷却水 B 冷却塔 (A4B) 基礎の支持地盤の極限支持力度は、使用前検査成績書における岩石試験結果を用いて基礎指針 1988 に基づき算定する。なお、式の第 3 項については安全裕度の観点から、考慮しないものとする。

極限支持力度の算出式の各係数に用いる値については、安全冷却水 B 冷却塔基礎（基礎基盤）の使用前検査成績書「日本原燃株式会社 再処理事業所 再処理施設の工事について使用前検査成績書 安全冷却水系（その 2）（安全冷却水系 B 冷却塔基礎）[基礎基盤]、[躯体]（[整理番号（再本一チー 2.2.2.2(②)）]、核燃料規制課）」の短期許容支持力度の算定で用いた値とする。算定結果を以下に示す。

（極限支持力度の算定）

$$q_d = \alpha \cdot c \cdot N_c + \beta \cdot \gamma_1 \cdot B \cdot N_r + \gamma_2 \cdot D_f \cdot N_q$$

$$= 1.20 \times 58 \text{ tf/m}^2 \times 82.3 + 0.43 \times 0.84 \text{ tf/m}^3 \times 26.0 \text{ m} \times 93.1$$

$$= 6,602 \text{ tf/m}^2 \doteq 64.7 \text{ MPa}$$

q_d :	単位面積あたりの極限鉛直支持力度 (kN/m ²)	
N_c :	支持力係数 ^{※1}	82.3
N_r :	支持力係数 ^{※1}	93.1
N_q :	支持力係数 ^{※1}	使用しない
c :	支持地盤の粘着力 (tf/m ²)	58
ϕ :	内部摩擦角 (細粒砂岩) (°)	39
γ_1 :	支持地盤の単位体積重量 (tf/m ³) ^{※2}	0.84
γ_2 :	根入れ部分の土の単位体積重量 (kN/m ³) ^{※2}	使用しない
α :	基礎の形状係数 ^{※3}	1.20
β :	基礎の形状係数 ^{※3}	0.43
B :	基礎幅 (m)	26.0
D_f :	根入れ深さ (m)	使用しない

※1 N_c , N_r , N_q については、基礎指針 1988 に基づき、地盤内部の摩擦角に応じて次の表に掲げる支持力係数とする。

支持力 係数	内部摩擦角											
	0°	5°	10°	15°	20°	25°	28°	32°	36°	40°	45°	50°
N_c	5.3	5.3	5.3	6.5	7.9	9.9	11.4	20.9	42.2	95.7	172.3	347.1
N_r	0	0	0	1.2	2.0	3.3	4.4	10.6	30.5	114.0	325.8	1073.4
N_q	1.0	1.4	1.9	2.7	3.9	5.6	7.1	14.1	31.6	81.2	173.3	414.7

この表に掲げる内部摩擦角以外の内部摩擦角に応じた N_c , N_r , N_q については、表に掲げる数値をそれぞれ直線的に補間した数値とする。

※2 γ_1, γ_2 には、地下水位以下の場合には水中単位体積重量を用いる。

※3 α, β については、基礎指針 1988 に基づき、基礎底面の形状に応じて次の表に掲げる係数とする。

係数	基礎底面の形状			
	連続	正方形	長方形	円形
α	1.0	1.3	$1.0+0.3 \cdot B/L$	1.3
β	0.5	0.4	$0.5-0.1 \cdot B/L$	0.3

この表において、 B 及び L は基礎底面の短辺及び長辺の長さ(m)を表すものとする。

5.1.2 MOX燃料加工建屋における極限支持力度

MOX燃料加工建屋における算定値の詳細について以下に示す。

MOX燃料加工建屋の支持地盤の極限支持力度は、使用前検査成績書における岩石試験結果を用いて基礎指針 2001 に基づき算定する。なお、式の第3項については安全裕度の観点から、考慮しないものとする。

極限支持力度の算出式の各係数に用いる値については、燃料加工建屋(基礎基盤)の使用前検査成績書「日本原燃株式会社 再処理事業所 MOX燃料加工施設の工事について使用前検査成績書 燃料加工建屋(その1) [基礎基盤] ([整理番号(平成23・02・07原第8号)要イ1-1, (独)原子力安全基盤機構)」の短期許容支持力度の算定で用いた値とする。算定結果を以下に示す。

(極限支持力度の算定)

$$\begin{aligned}
 q_d &= i_c \cdot \alpha \cdot c \cdot N_c + i_r \cdot \beta \cdot \gamma_1 \cdot B \cdot \eta \cdot N_r + i_q \cdot \gamma_2 \cdot D_f \cdot N_q \\
 &= 0.72 \times 1.20 \times 440 \text{ kN/m}^2 \times 75.3 + 0.44 \times 0.30 \times 4.8 \text{ kN/m}^3 \times 87.3 \text{ m} \times 93.7 \\
 &= 33,809 \text{ kN/m}^2 \doteq 33.8 \text{ MPa}
 \end{aligned}$$

q_d :	単位面積あたりの極限鉛直支持力度 (MPa)	
N_c :	支持力係数 ^{※1}	75.3
N_r :	支持力係数 ^{※1}	93.7
N_q :	支持力係数 ^{※1}	使用しない
c :	支持地盤の粘着力 (kN/m ²)	440
ϕ :	内部摩擦角 (軽石凝灰岩) (°)	40.0
γ_1 :	支持地盤の単位体積重量 (kN/m ³) ^{※2}	4.8
γ_2 :	根入れ部分の土の単位体積重量 (kN/m ³) ^{※2}	使用しない
α :	基礎の形状係数 ^{※3}	1.20
β :	基礎の形状係数 ^{※3}	0.30
η :	基礎の寸法効果による補正係数 ^{※4}	使用しない (1.0)
i_c :	荷重の傾斜に対する補正係数 ^{※5}	0.72

i_r :	荷重の傾斜に対する補正係数 ^{※5}	0.44
i_q :	荷重の傾斜に対する補正係数 ^{※5}	使用しない
B :	基礎幅 (m)	87.3
D_f :	根入れ深さ (m)	使用しない

※1 N_c, N_r, N_q については、基礎指針 2001 に基づき、地盤内部の摩擦角に応じて次の表に掲げる支持力係数とする。

支持力係数	内部摩擦角 ϕ									
	0°	5°	10°	15°	20°	25°	28°	32°	36°	40° 以上
N_c	5.1	6.5	8.3	11.0	14.8	20.7	25.8	35.5	50.6	75.3
N_r	0	0.1	0.4	1.1	2.9	6.8	11.2	22.0	44.4	93.7
N_q	1.0	1.6	2.5	3.9	6.4	10.7	14.7	23.2	37.8	64.2

この表に掲げる内部摩擦角以外の内部摩擦角に応じた N_c, N_r, N_q については、表に掲げる数値をそれぞれ直線的に補間した数値とする。

※2 γ_1, γ_2 には、地下水位以下の場合には水中単位体積重量を用いる。

※3 α, β については、基礎指針 2001 に基づき、基礎底面の形状に応じて次の表に掲げる係数とする。

係数	基礎底面の形状			
	連続	正方形	長方形	円形
α	1.0	1.2	$1.0+0.2 \cdot B/L$	1.2
β	0.5	0.3	$0.5-0.2 \cdot B/L$	0.3

この表において、 B 及び L は基礎底面の短辺及び長辺の長さ (m) を表すものとする。

※4 η は、基礎指針 2001 に記載のとおり、傾斜・偏心荷重の効果と併せて考慮する必要はないものであることから使用しない。

※5 i_c, i_r, i_q については、基礎に作用する荷重の鉛直方向に対する傾斜角に応じて次の式によって計算した数値とする。

$$i_c = i_q = (1 - \theta / 90)^2, \quad i_r = (1 - \theta / \phi)^2$$

θ :	基礎に作用する荷重の鉛直方向に対する傾斜角	13.5°
	基礎に作用する鉛直荷重	2779.9MN
	地震時作用せん断力	667.6MN

5.2 杭基礎の支持力算定式

基礎指針2001による杭基礎における支持力算定式を以下に示す。

杭基礎の押し込み力に対する支持力評価には、杭先端の支持岩盤への接地圧並びに杭周面地盤の地盤改良体及び支持岩盤への杭根入れ部分の杭周面摩擦力により算定される極限支持力を考慮することを基本とする。

・基礎指針 2001 による極限支持力算定式

$$R_u = R_p + R_f$$

R_u : 極限支持力 (kN)

R_p : 極限先端支持力 (kN)

$$R_p = q_p \cdot A_p$$

q_p : 極限先端支持力度 (kN/m²)

A_p : 杭先端の閉塞断面積 (m²)

R_f : 極限周面摩擦力 (kN)

$$R_f = R_{fs} + R_{fc}$$

R_{fs} : 砂質土部分の極限周面摩擦力 (kN)

$$R_{fs} = \tau_s \cdot L_s \cdot \phi$$

τ_s : 砂質土部分の極限周面摩擦力度 (kN/m²)

L_s : 砂質土部分の長さ (m)

ϕ : 杭の周長 (m)

R_{fc} : 粘性土部分の極限周面摩擦力 (kN)

$$R_{fc} = \tau_c \cdot L_c \cdot \phi$$

τ_c : 粘性土部分の極限周面摩擦力度 (kN/m²)

L_c : 粘性土部分の長さ (m)

杭基礎の引抜き力に対する支持力評価には、杭周面地盤の地盤改良体及び支持岩盤への杭根入れ部分の杭周面摩擦力により算定される支持力を考慮することを基本とする。

・基礎指針 2001 による残留引抜き抵抗力算定式

$$R_{TR} = (1/1.2) (\sum \tau_{sti} L_{si} + \sum \tau_{cti} L_{ci}) \phi + W$$

R_{TR} : 残留引抜き抵抗力 (kN)

τ_{sti} : 砂質土の i 層における杭引抜き時の最大周面摩擦力度 (kN/m²) *1

L_{si} : 砂質土の i 層における杭の長さ (m)

τ_{cti} : 粘性土の i 層における杭引抜き時の最大周面摩擦力度 (kN/m²)

L_{ci} : 粘性土の i 層における杭の長さ (m)

ϕ : 杭の周長 (m)

W : 杭の自重 (kN) *2

*1 : 押し込み時の極限周面摩擦力度の 2/3 とする。

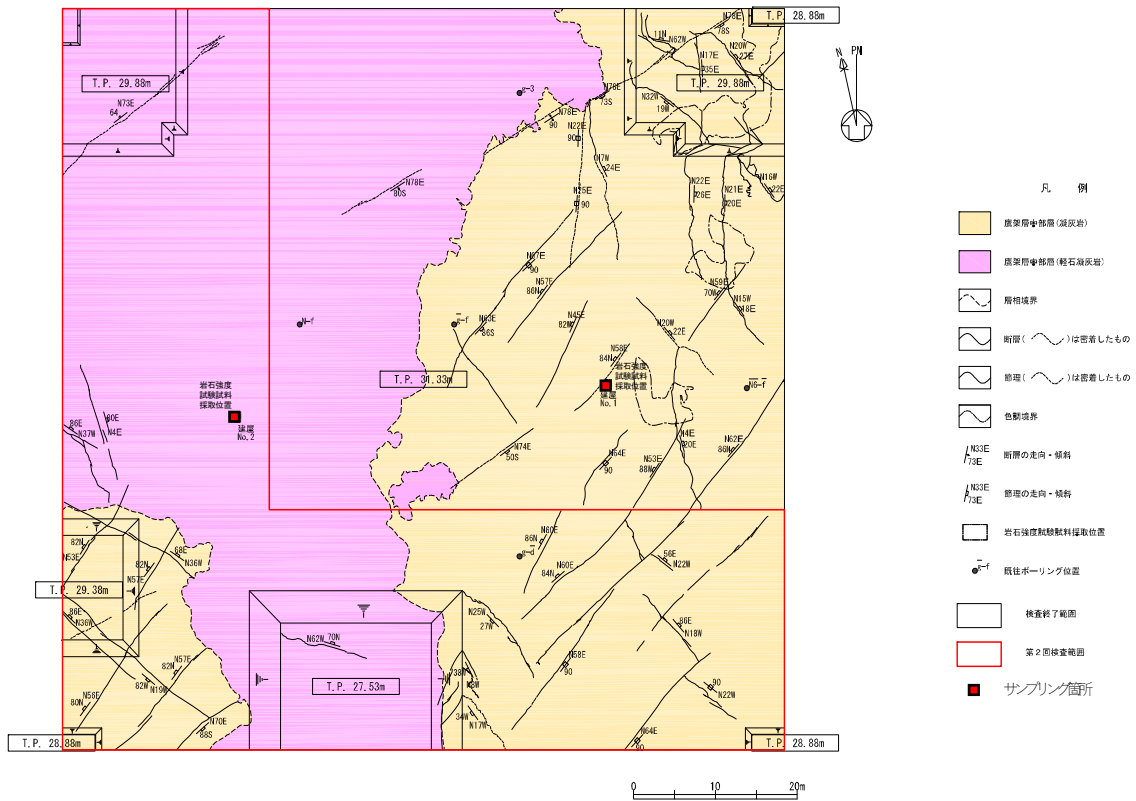
*2 : 地下水位以下の部分については浮力を考慮する。

5.3 地盤の支持力度設定における代表性及び保守性

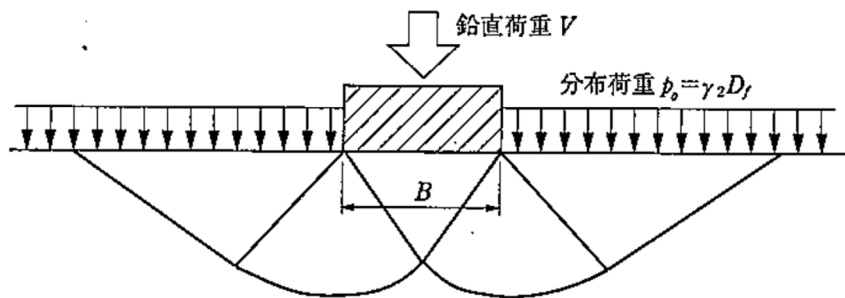
5.1で示している建屋毎に使用前検査結果から設定した直接基礎の極限支持力度は、参考を示す事業変更許可申請書における最大荷重と異なるため、使用前検査における岩石試験のサンプリング箇所の代表性及び設定値の保守性について以下に示す。

MOX燃料加工建屋を例に、使用前検査で岩石試験に用いたサンプリング位置を第5-1図に示す。MOX燃料加工建屋直下の基盤は鷹架層中部層(凝灰岩)及び鷹架層中部層(軽石凝灰岩)の2種類で構成されている。サンプリング位置については節理や大きな軽石、色調の異なる部分など代表的でない箇所は避けて設定していることを確認した。また、第5-2図に示すとおり、一般的に剛な基礎による支配的となる全般せん断破壊は、載荷幅程度の深度におけるくさび状のすべり線で定義される。したがって、支持力は、基礎直下の岩盤の強度特性により発揮される。当該地点の支持岩盤(鷹架層)は、第5-3図及び第5-4図に示すとおり、概ね深度方向に強度が維持または増加する傾向を示し、掘削時の応力開放によるゆるみ等を勘案した場合に基礎直下での岩石試料による強度特性(極限支持力)は保守性を有するものと考えられる。

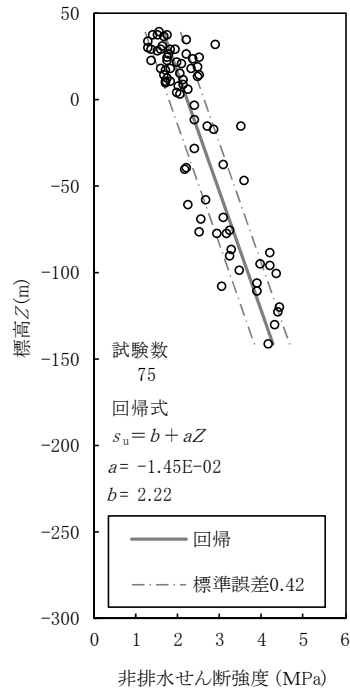
一方、平成23年2月14日付け平成22・02・19原第11号で変更の許可を受けた再処理事業指定申請書において示している鷹架層下部層、中部層及び上部層の岩石試験結果の許容支持力度から算出される極限支持力度は、6MPa～37MPa程度であり、敷地全体の強度特性は岩種や採取位置によりある程度の幅を有している。また、令和2年7月29日付け原規規発第2007292号で変更の許可を受けた再処理事業指定申請書では、参考を示すとおり西側地盤、中央地盤及び東側地盤における試掘坑において実施した岩盤支持力試験結果における最大荷重を代表として評価基準値を設定していたが、各建屋直下にて岩石試験を実施している場合は、その結果を採用することで設定する基準値との位置的な整合を図るものとする。



第5-1図 MOX燃料加工建屋直下掘削面の地質平面図及びサンプリング位置図

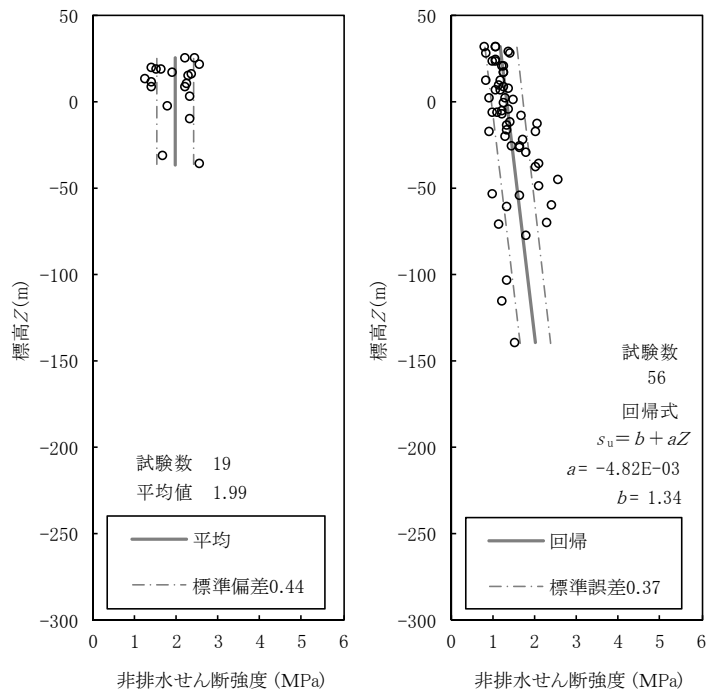


第5-2図 基礎の破壊時すべり線 (基礎指針2001)



細粒砂岩

第5-3 図 安全冷却水 B 冷却塔直下の鷹架層（細粒砂岩）の非排水せん断強度



凝灰岩

軽石凝灰岩

第5-4 図 MOX 燃料加工建屋直下の鷹架層（凝灰岩及び軽石凝灰岩）の非排水せん断強度

(参考) 再処理施設の事業変更許可申請書に記載の岩盤支持力試験結果

第4.4-4表(1) 岩盤支持力試験結果 (鷹架層下部層)

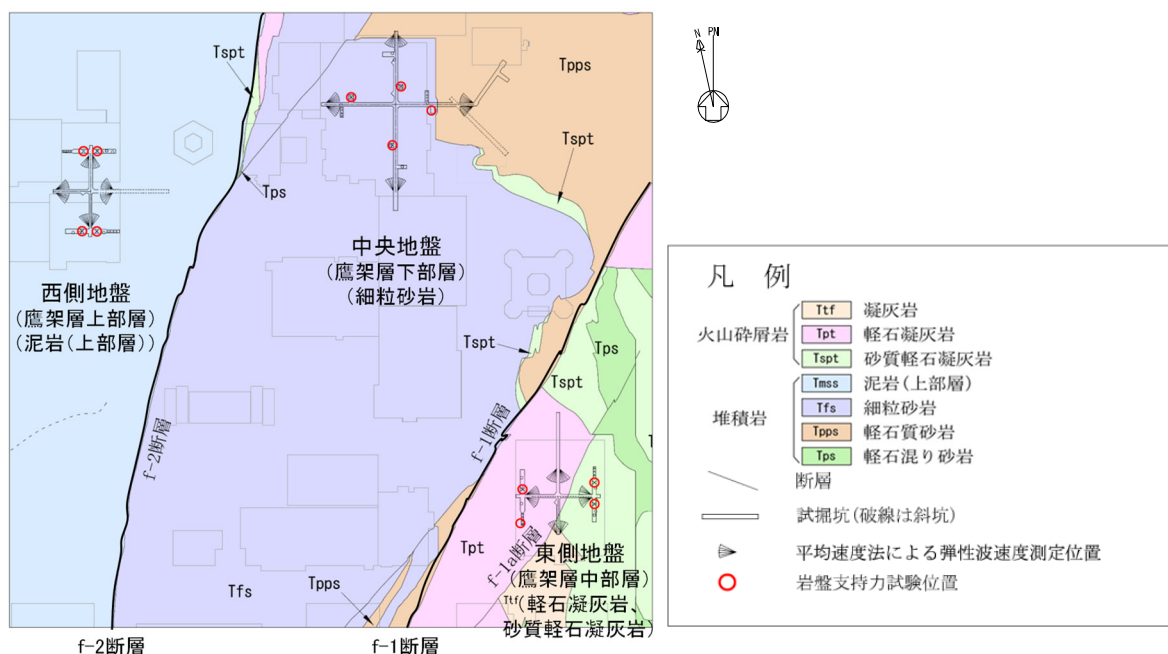
(単位: MP a)

試験位置	岩盤分類名	上限降伏値	最大荷重
J B-1	細粒砂岩	6.1	9.3
J B-2	細粒砂岩	7.1	12.7
J B-3	細粒砂岩	6.4	9.8
J B-4	細粒砂岩	7.4	9.8
平均		6.8	10.4

第4.4-4表(2) 岩盤支持力試験結果 (鷹架層中部層)

(単位: MP a)

試験位置	岩盤分類名	上限降伏値	最大荷重
J B-1	軽石凝灰岩	2.9	7.4
J B-2	軽石凝灰岩	3.4	9.8
J B-3	砂質軽石凝灰岩	2.5	6.4
J B-4	砂質軽石凝灰岩	2.6	6.4
平均		2.9	7.5



参考図 岩盤支持力試験位置図

6. 地盤の速度構造

6.1 入力地震動の設定に用いる地下構造モデル

入力地震動の設定に用いる地下構造モデルは「耐震建物 08 設工認に係る補足説明資料 耐震設計の基本方針に関する地震応答解析における地盤モデル及び物性値の設定について」に示している。

6.2 地震応答解析に用いる地盤の速度構造モデル

地震応答解析に用いる地盤の速度構造モデルは「耐震建物 08 設工認に係る補足説明資料 耐震設計の基本方針に関する地震応答解析における地盤モデル及び物性値の設定について」に示している。

別紙

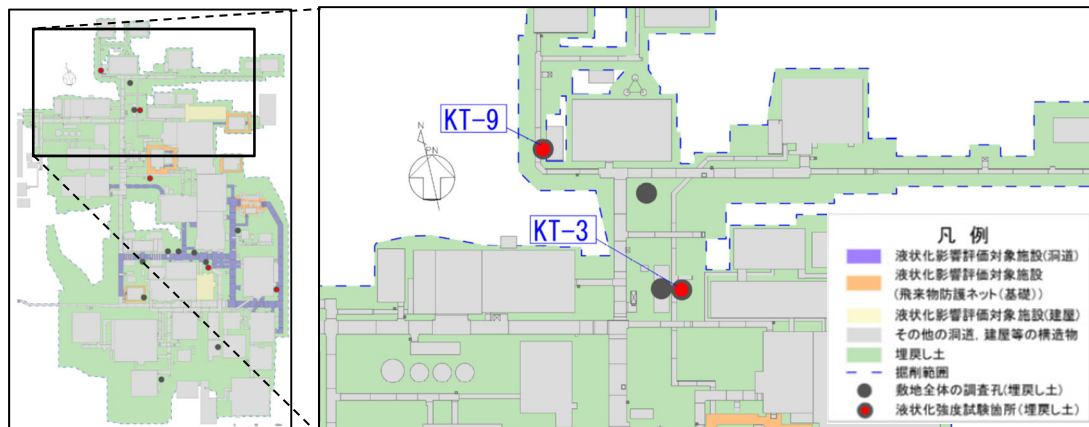
液状化強度試験の詳細について

目 次

1. 埋戻し土のボーリング柱状図・コア写真…………… 別紙-1
2. 液状化強度試験結果…………… 別紙-7
3. 液状化強度試験供試体写真…………… 別紙-27

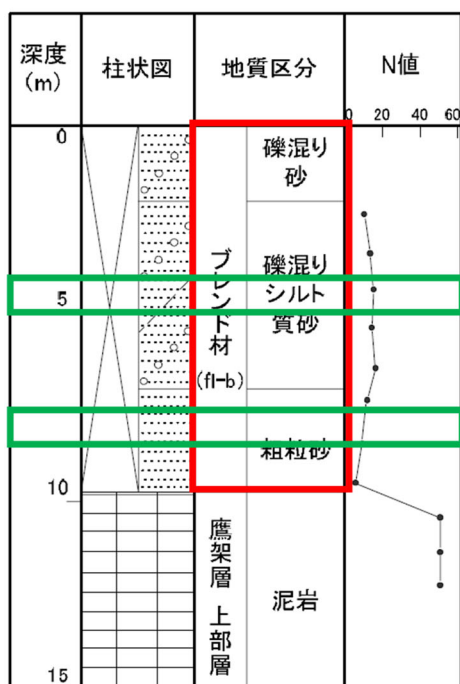
1. 埋戻し土のボーリング柱状図・コア写真

埋戻し土における液状化強度試験箇所のボーリング柱状図及びコア写真を第 1-1 図～第 1-5 図に示す。

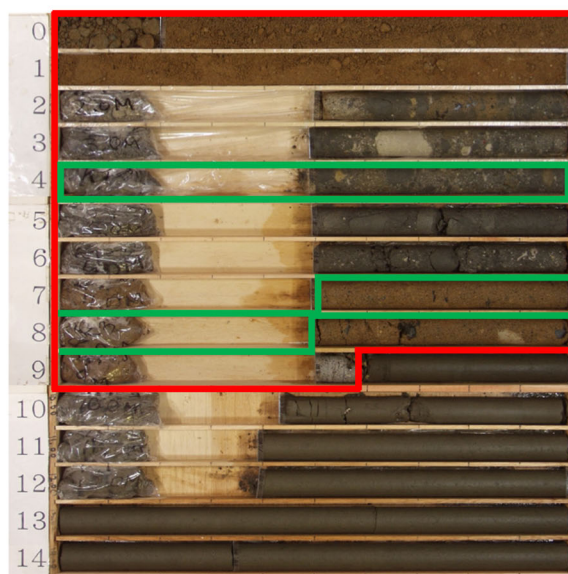


ボーリング平面位置図 (KT-3)

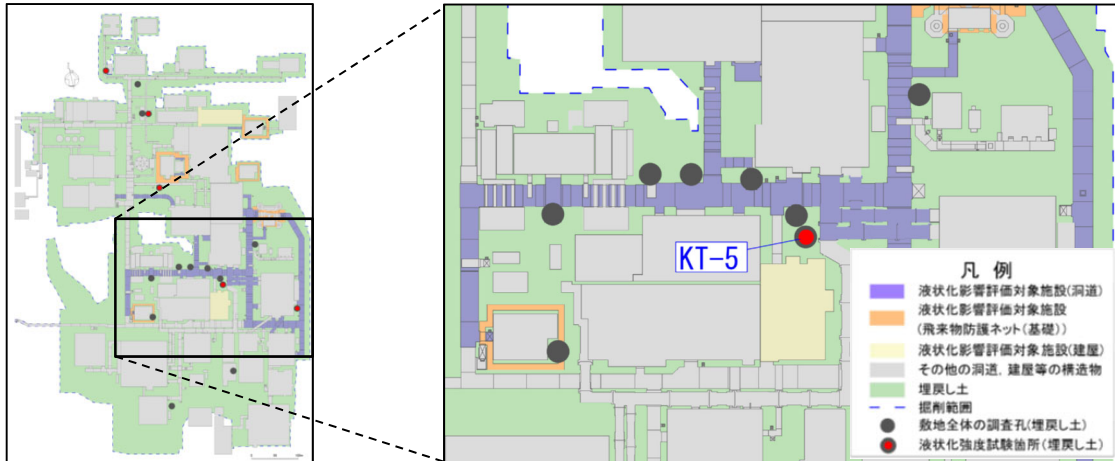
KT-3 (孔口標高 55.17m)



: 埋戻し土分布深度
 : 液状化強度試験試料採取深度

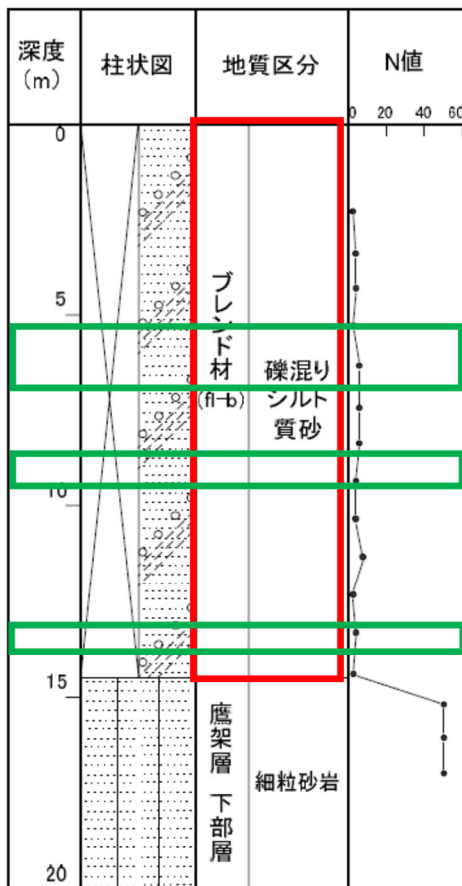


第 1-1 図 ボーリング柱状図・コア写真 (KT-3)

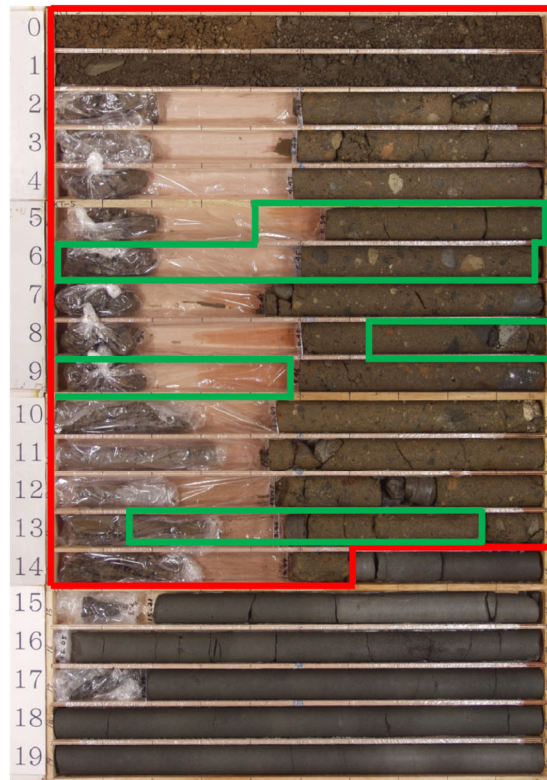


ボーリング平面位置図 (KT-5)

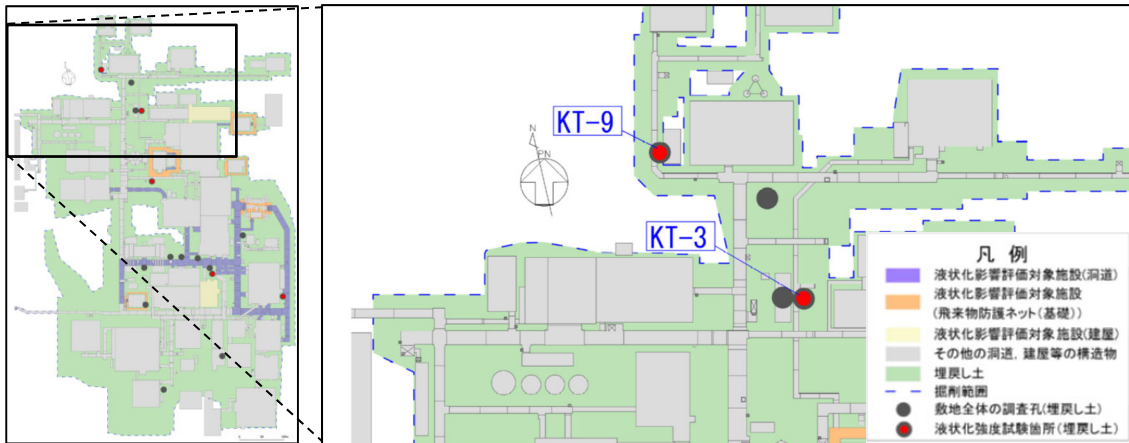
KT-5 (孔口標高 54.93m)



:埋戻し土分布深度
 :液状化強度試験試料採取深度

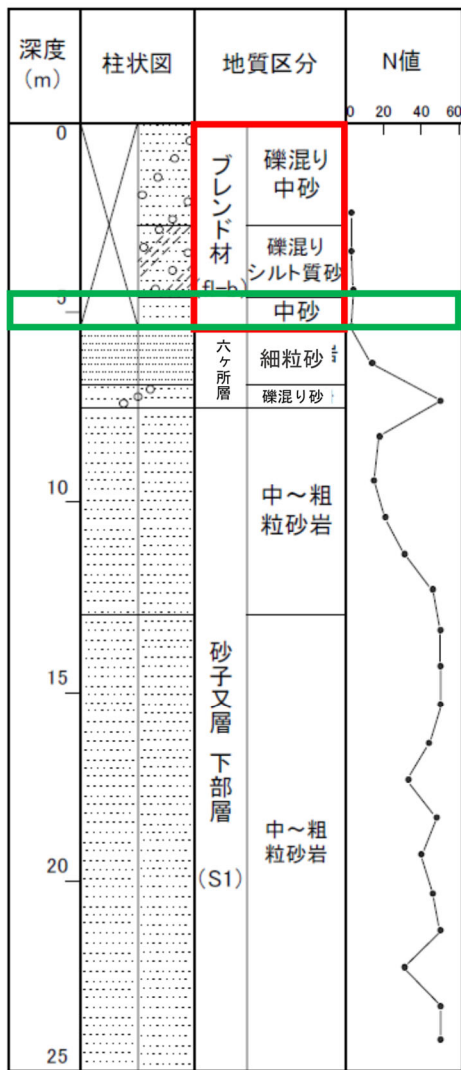


第 1-2 図 ボーリング柱状図・コア写真 (KT-5)



ボーリング平面位置図 (KT-9)

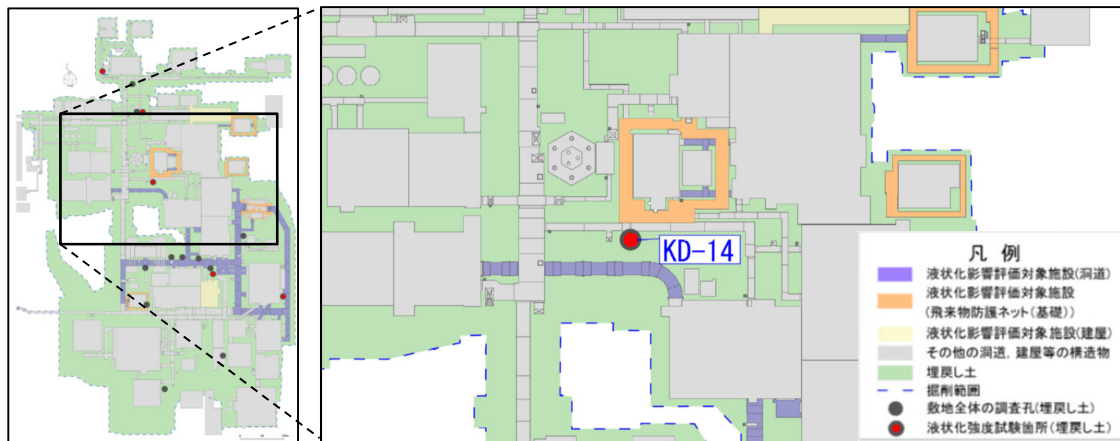
KT-9 (孔口標高 54.94m)



: 埋戻し土分布深度
 : 液状化強度試験試料採取深度

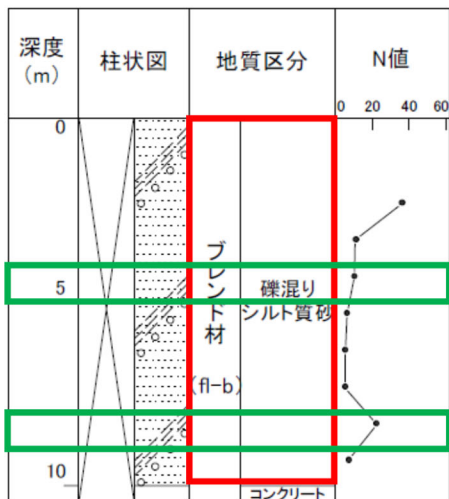


第1-3図 ボーリング柱状図・コア写真 (KT-9)



ボーリング平面位置図 (KD-14)

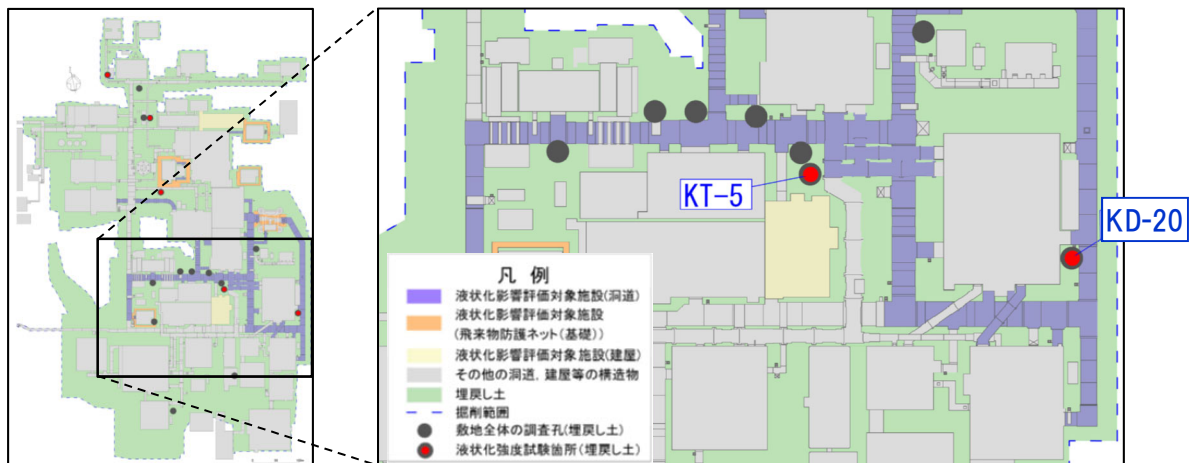
KD-14 (孔口標高 55.01m)



- : 埋戻し土分布深度
- : 液状化強度試験試料採取深度

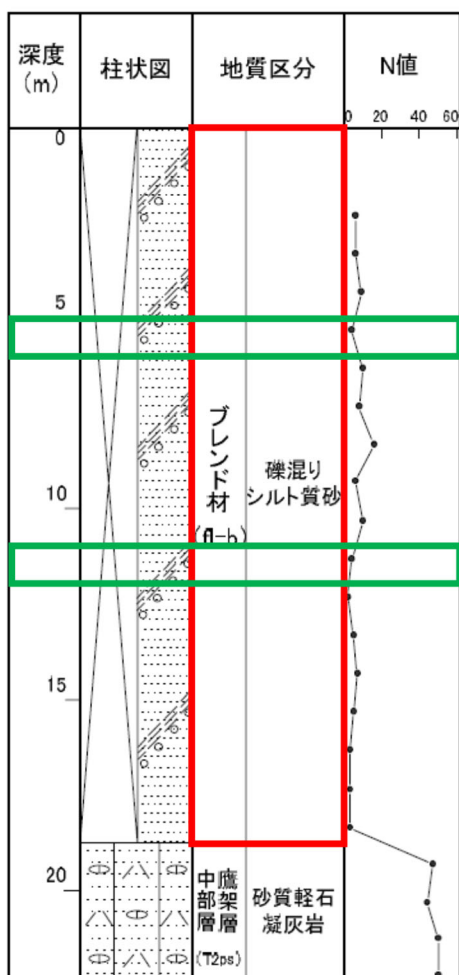


第 1-4 図 ボーリング柱状図・コア写真 (KD-14)



ボーリング平面位置図 (KD-20)

KD-20 (孔口標高 54.99m)

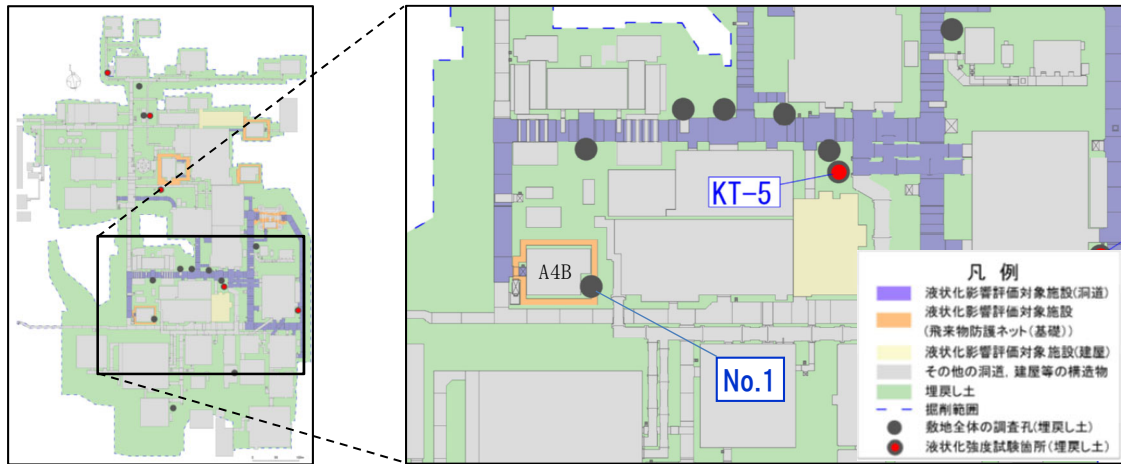


:埋戻し土分布深度
 :液状化強度試験試料採取深度



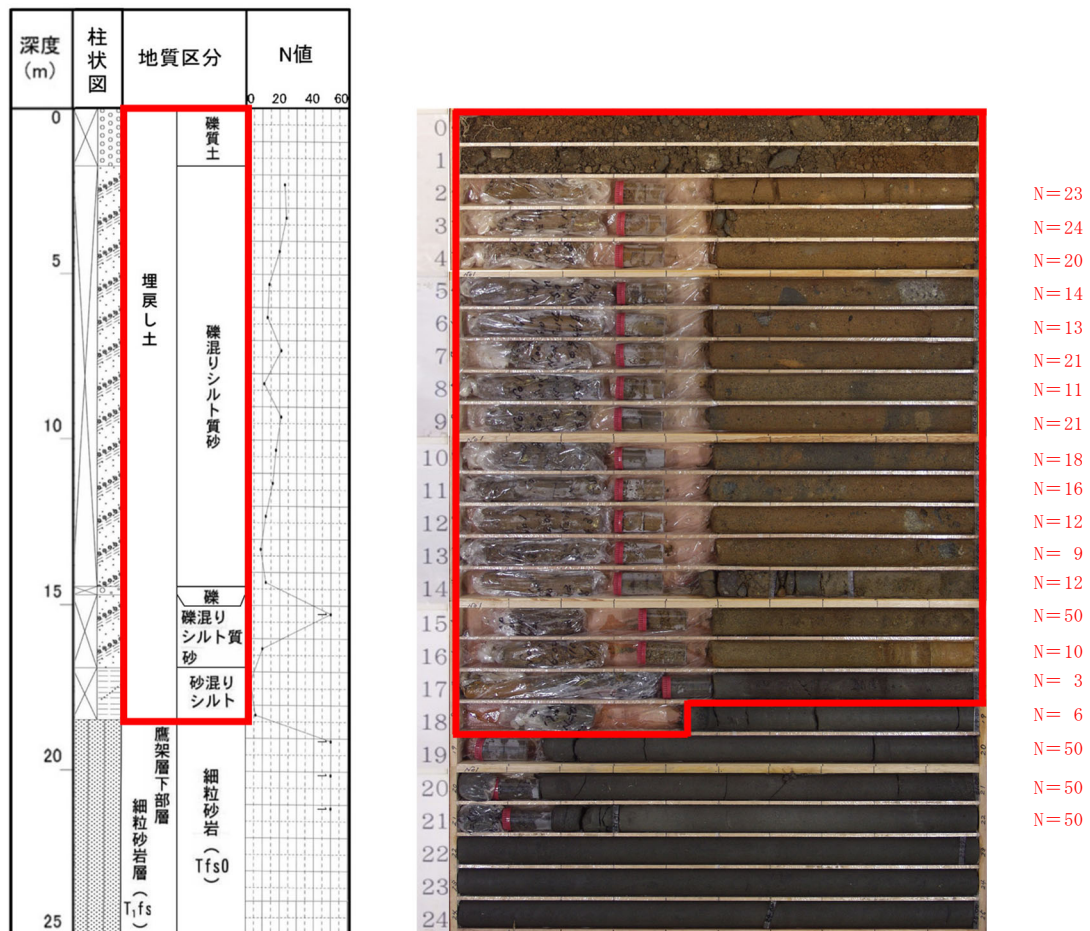
第 1-5 図 ボーリング柱状図・コア写真 (KD-20)

また、安全冷却水 B 冷却塔 (A4B) 近傍のボーリング (No.1 孔) の柱状図及びコア写真を第 1-6 図に示す。



ボーリング平面位置図 (No. 1)

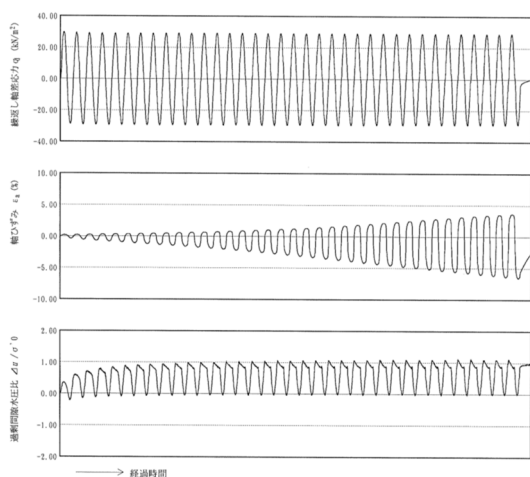
No.1孔 (孔口標高 54.99m)



第 1-6 図 ボーリング柱状図・コア写真 (No. 1)

2. 液状化強度試験結果

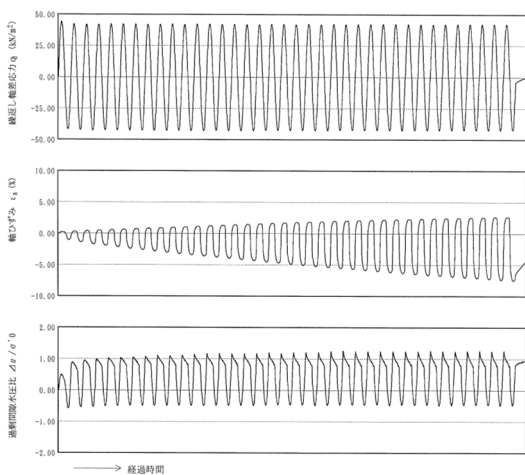
液状化強度試験結果について第 2-1 図～第 2-39 図に示す。



第 2-1 図 液状化強度試験結果
(KT-3_3-2 試料(供試体 No. 1))

試験データ分析		液状化の判断
間隙水圧が上昇・蓄積する (95%)	○	繰返し軟化※
有効応力がゼロまで低下する	—	
液体状となり流動する (ひずみ急増)	×	
ダイレイタンスー特性こよりせん断抵抗が作用しない (有効応力が回復しない)	×	

※過剰間隙水圧比が 95%に達してもひずみの急増は見受けられないこと、過剰間隙水圧比がゼロ付近まで低下（有効応力が回復）していることから、繰返し軟化と判断した。

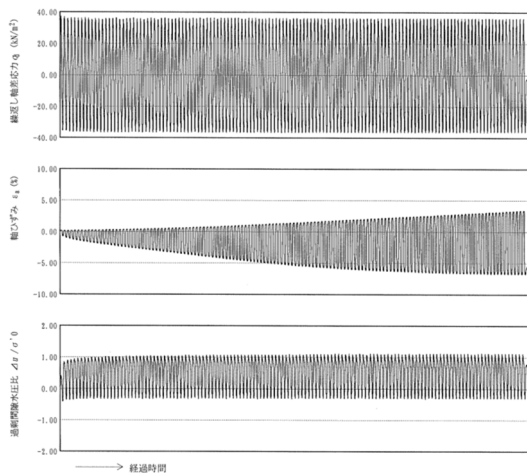


第 2-2 図 液状化強度試験結果
(KT-3_3-2 試料(供試体 No. 2))

試験データ分析		液状化の判断
間隙水圧が上昇・蓄積する (95%)	○	繰返し軟化※
有効応力がゼロまで低下する	—	
液体状となり流動する (ひずみ急増)	×	
ダイレイタンスー特性こよりせん断抵抗が作用しない (有効応力が回復しない)	×	

※過剰間隙水圧比が 95%に達してもひずみの急増は見受けられないこと、過剰間隙水圧比がゼロ付近まで低下（有効応力が回復）していることから、繰返し軟化と判断した。

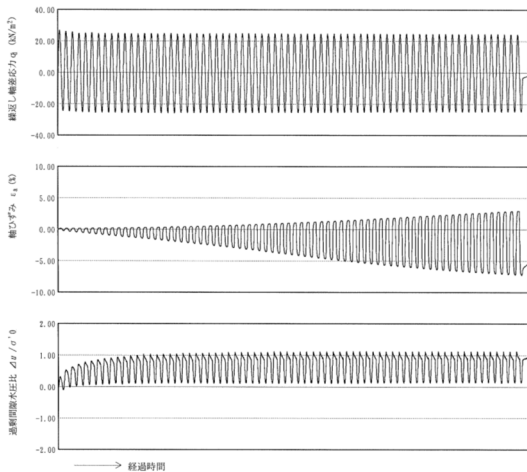
注 ボーリング孔 KT-3 の試験は、実施時期が古く、デジタルデータはない。また、試験結果の整理方法が異なる。



第 2-3 図 液状化強度試験結果
(KT-3_3-2 試料(供試体 No. 3))

試験データ分析		液状化の判断
間隙水圧が上昇・蓄積する (95%)	○	繰返し軟化*
有効応力がゼロまで低下する	—	
液体状となり流動する (ひずみ急増)	×	
ダイレイタンスー特性よりせん断抵抗が作用しない (有効応力が回復しない)	×	

※過剰間隙水圧比が 95%に達してもひずみの急増は見受けられないこと、過剰間隙水圧比がゼロ付近まで低下（有効応力が回復）していることから、繰返し軟化と判断した。

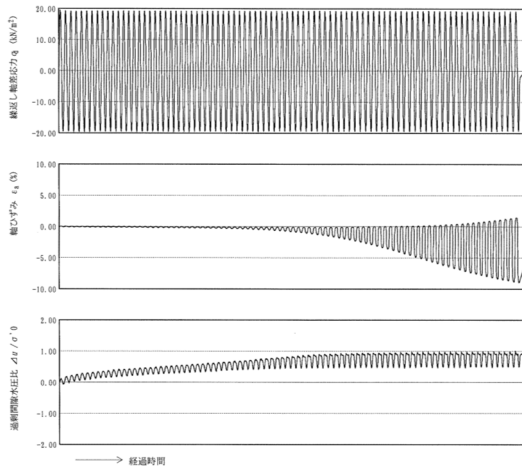


第 2-4 図 液状化強度試験結果
(KT-3_3-2 試料(供試体 No. 4))

試験データ分析		液状化の判断
間隙水圧が上昇・蓄積する (95%)	○	繰返し軟化*
有効応力がゼロまで低下する	—	
液体状となり流動する (ひずみ急増)	×	
ダイレイタンスー特性よりせん断抵抗が作用しない (有効応力が回復しない)	×	

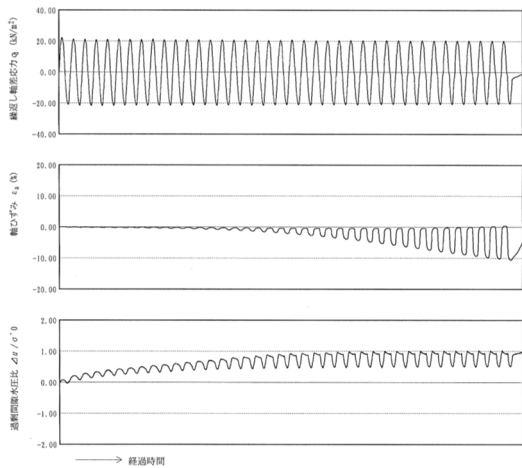
※過剰間隙水圧比が 95%に達してもひずみの急増は見受けられないこと、過剰間隙水圧比がゼロ付近まで低下（有効応力が回復）していることから、繰返し軟化と判断した。

注 ボーリング孔 KT-3 の試験は、実施時期が古く、デジタルデータはない。また、試験結果の整理方法が異なる。



第 2-5 図 液状化強度試験結果
(KT-3_5-2 試料(供試体 No. 1))

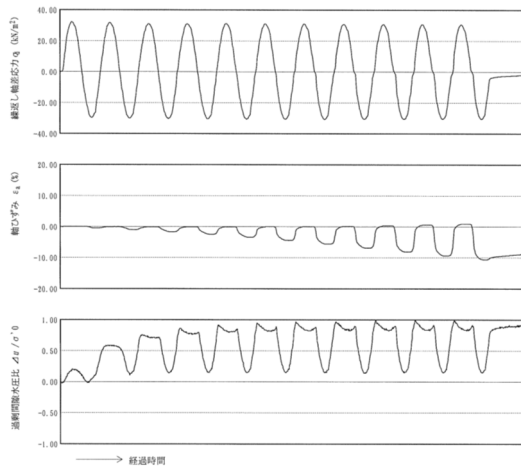
試験データ分析		液状化の判断
間隙水圧が上昇・蓄積する (95%)	○	液状化
有効応力がゼロまで低下する	—	
液体状となり流動する (ひずみ急増)	×	
ダイレイタンスー特性によりせん断抵抗が作用しない (有効応力が回復しない)	○	



第 2-6 図 液状化強度試験結果
(KT-3_5-2 試料(供試体 No. 2))

試験データ分析		液状化の判断
間隙水圧が上昇・蓄積する (95%)	○	液状化
有効応力がゼロまで低下する	—	
液体状となり流動する (ひずみ急増)	×	
ダイレイタンスー特性によりせん断抵抗が作用しない (有効応力が回復しない)	○	

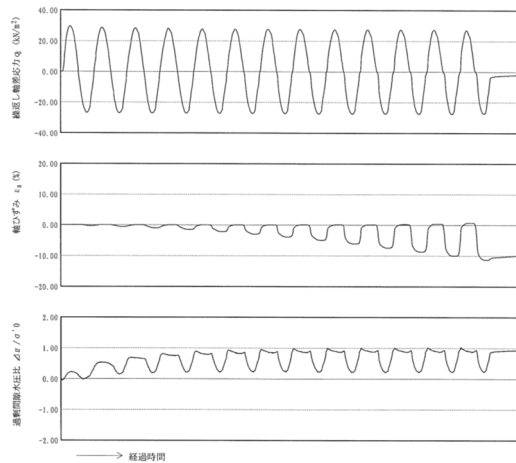
注 ボーリング孔 KT-3 の試験は、実施時期が古く、デジタルデータはない。また、試験結果の整理方法が異なる。



第 2-7 図 液状化強度試験結果
(KT-3_5-2 試料(供試体 No. 3))

試験データ分析		液状化の判断
間隙水圧が上昇・蓄積する (95%)	○	繰返し軟化※
有効応力がゼロまで低下する	—	
液体状となり流動する (ひずみ急増)	×	
ダイレイタンスー特性こよりせん断抵抗が作用しない (有効応力が回復しない)	×	

※過剰間隙水圧比が 95%に達してもひずみの急増は見受けられないこと、過剰間隙水圧比がゼロ付近まで低下 (有効応力が回復) していることから、繰返し軟化と判断した。

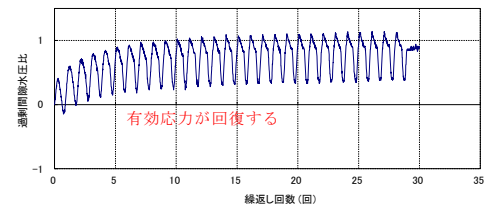
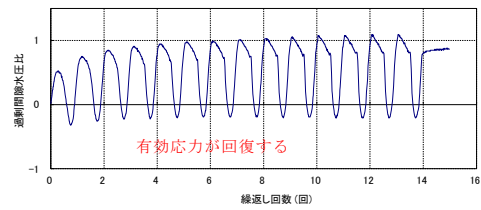
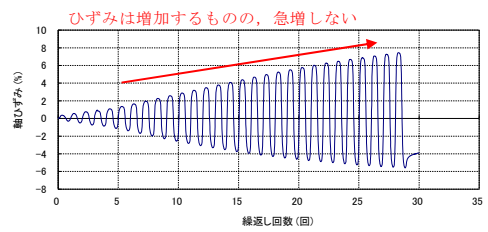
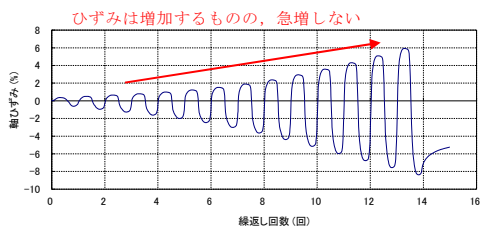
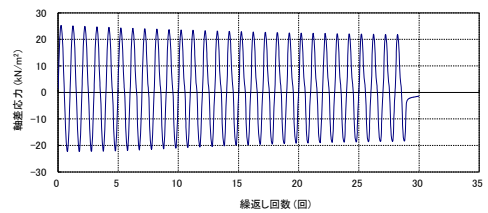
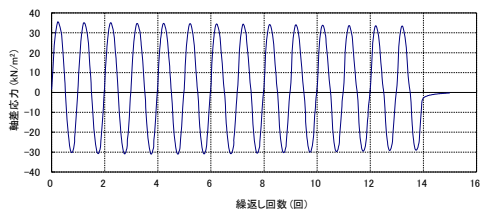
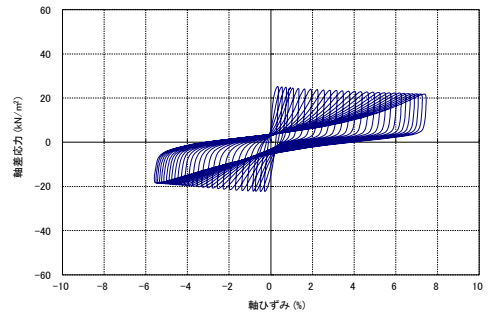
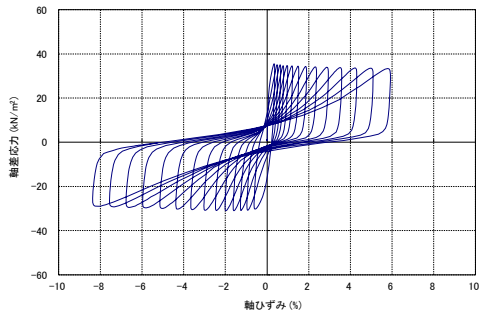
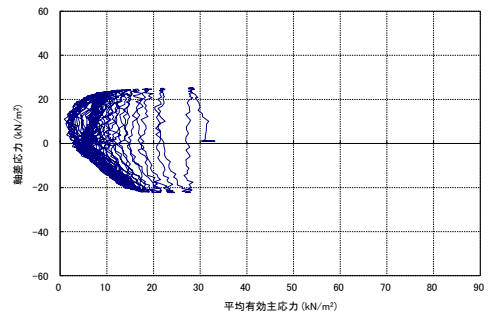
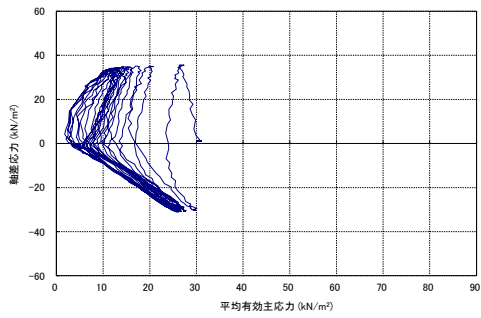


第 2-8 図 液状化強度試験結果
(KT-3_5-2 試料(供試体 No. 4))

試験データ分析		液状化の判断
間隙水圧が上昇・蓄積する (95%)	○	繰返し軟化※
有効応力がゼロまで低下する	—	
液体状となり流動する (ひずみ急増)	×	
ダイレイタンスー特性こよりせん断抵抗が作用しない (有効応力が回復しない)	×	

※過剰間隙水圧比が 95%に達してもひずみの急増は見受けられないこと、過剰間隙水圧比がゼロ付近まで低下 (有効応力が回復) していることから、繰返し軟化と判断した。

注 ボーリング孔 KT-3 の試験は、実施時期が古く、デジタルデータはない。また、試験結果の整理方法が異なる。

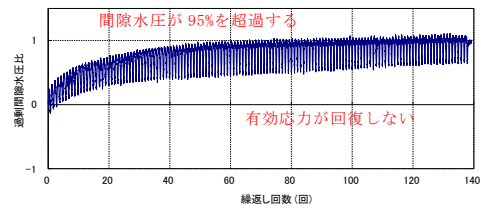
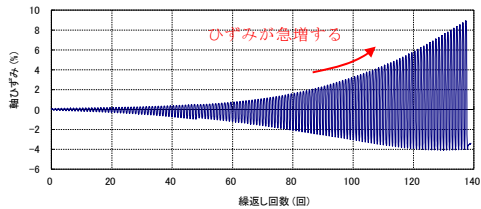
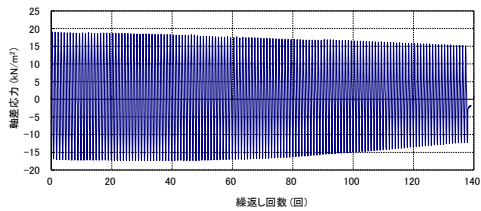
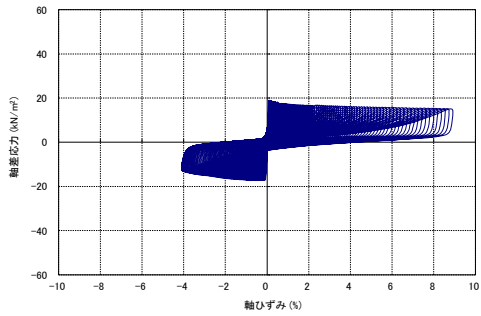
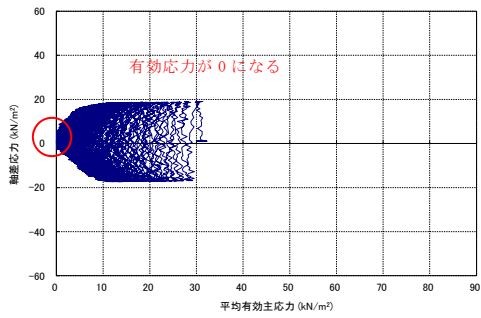


試験データ分析		液状化の判断
間隙水圧が上昇・蓄積する (95%)	○	繰返し軟化
有効応力がゼロまで低下する	×	
液体状となり流動する (ひずみ急増)	×	
ダイレイタンスー特性によりせん断抵抗が作用しない (有効応力が回復しない)	×	

試験データ分析		液状化の判断
間隙水圧が上昇・蓄積する (95%)	○	繰返し軟化
有効応力がゼロまで低下する	×	
液体状となり流動する (ひずみ急増)	×	
ダイレイタンスー特性によりせん断抵抗が作用しない (有効応力が回復しない)	×	

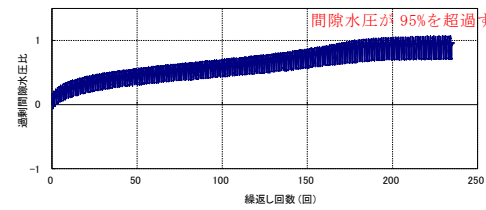
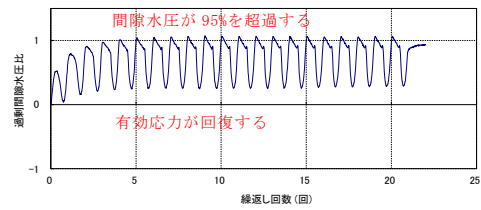
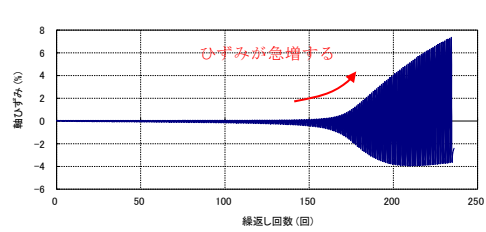
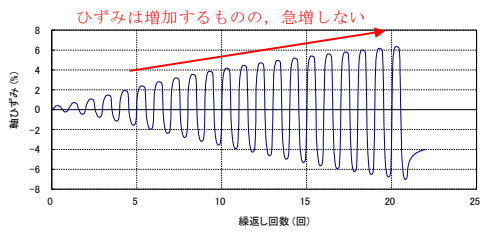
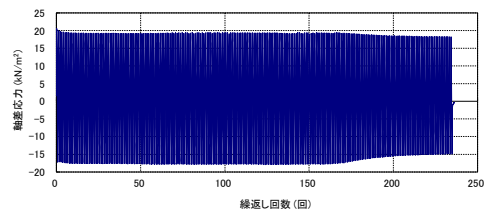
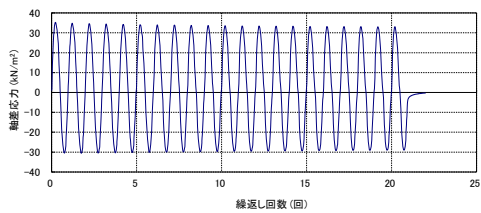
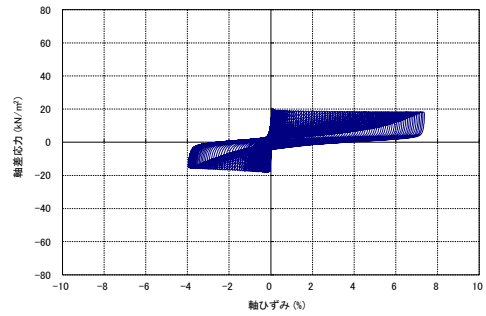
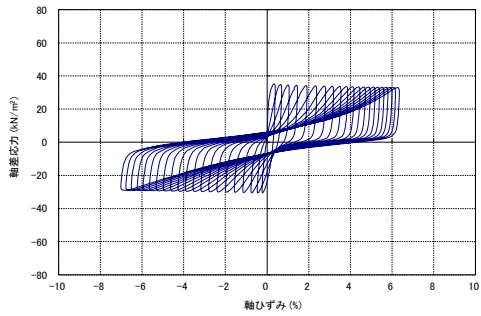
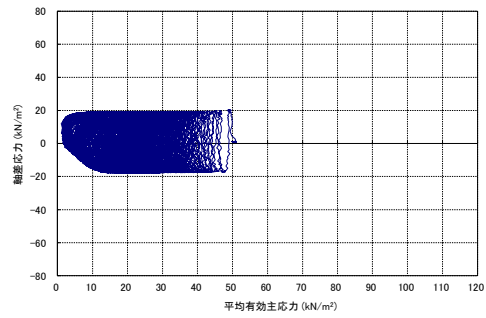
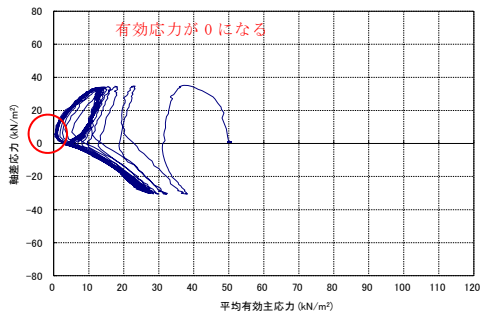
第 2-9 図 液状化強度試験結果
(KT-5_4 試料(供試体 No. 1))

第 2-10 図 液状化強度試験結果
(KT-5_4 試料(供試体 No. 2))



試験データ分析		液状化の判断
間隙水圧が上昇・蓄積する (95%)	○	液状化
有効応力がゼロまで低下する	○	
液体状となり流動する (ひずみ急増)	○	
ダイレイタンシー特性によりせん断抵抗が作用しない (有効応力が回復しない)	○	

第 2-11 図 液状化強度試験結果
(KT-5_4 試料(供試体 No. 3))

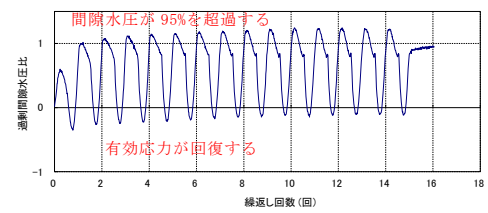
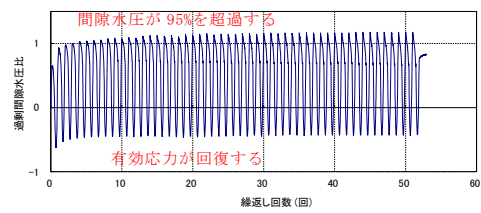
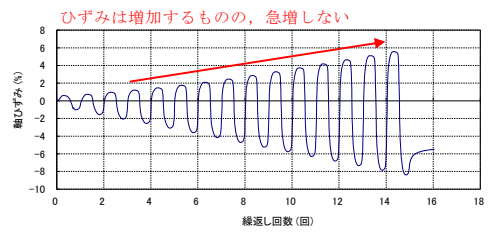
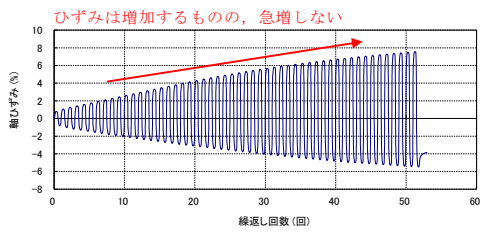
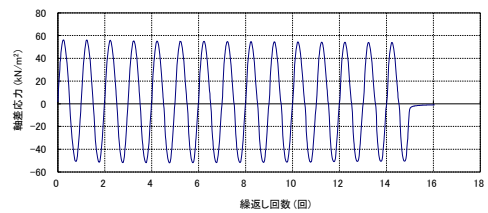
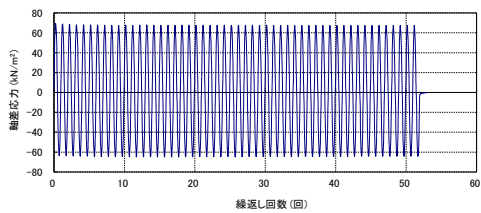
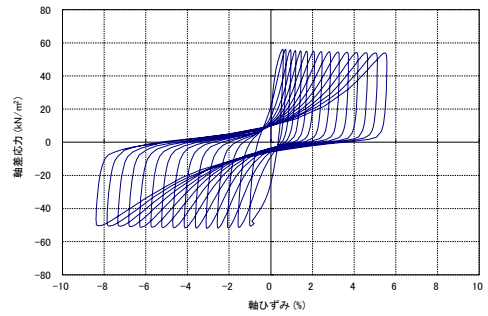
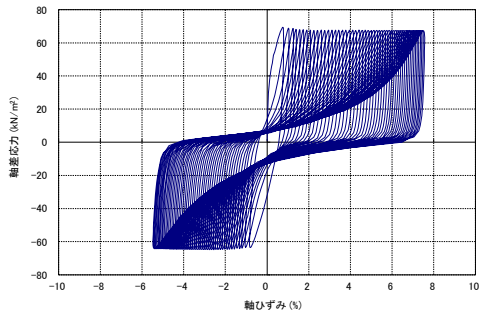
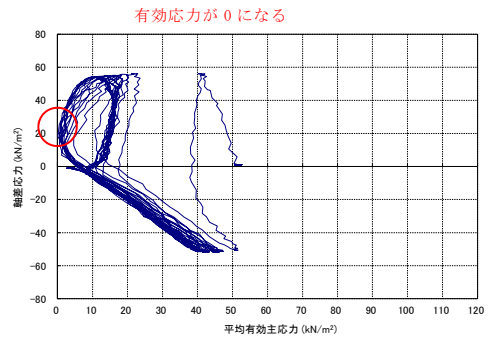
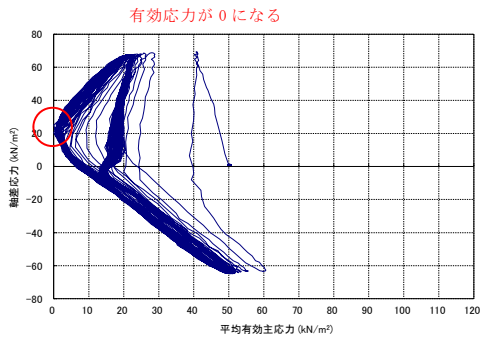


試験データ分析		液状化の判断
間隙水圧が上昇・蓄積する (95%)	○	繰返し軟化
有効応力がゼロまで低下する	○	
液体状となり流動する (ひずみ急増)	×	
ダイレイタンスー特性によりせん断抵抗が作用しない (有効応力が回復しない)	×	

試験データ分析		液状化の判断
間隙水圧が上昇・蓄積する (95%)	○	液状化
有効応力がゼロまで低下する	×	
液体状となり流動する (ひずみ急増)	○	
ダイレイタンスー特性によりせん断抵抗が作用しない (有効応力が回復しない)	○	

第 2-12 図 液状化強度試験結果
(KT-5_6 試料(供試体 No. 1))

第 2-13 図 液状化強度試験結果
(KT-5_6 試料(供試体 No. 2))

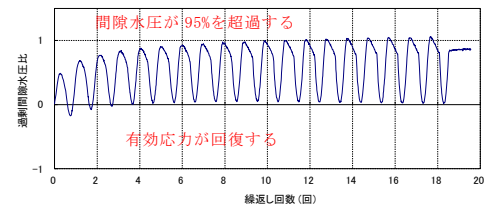
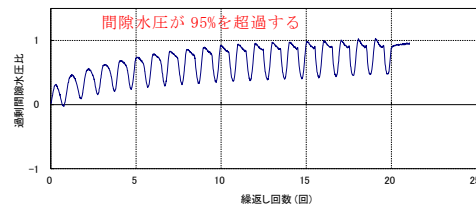
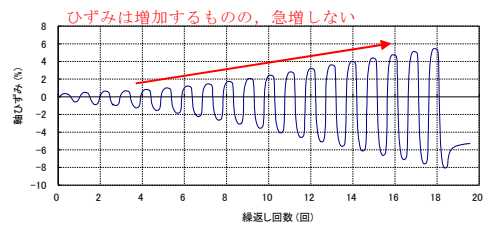
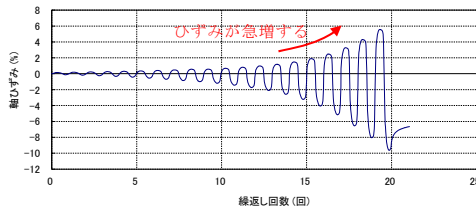
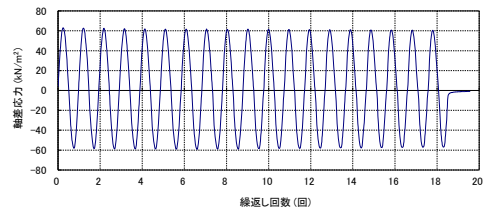
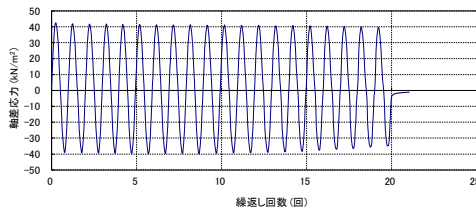
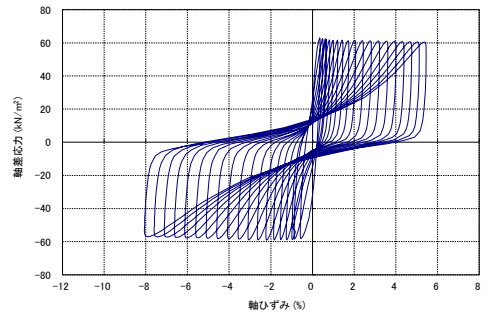
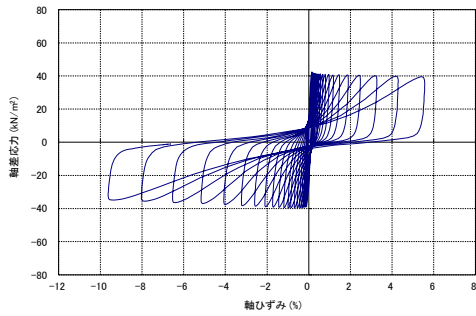
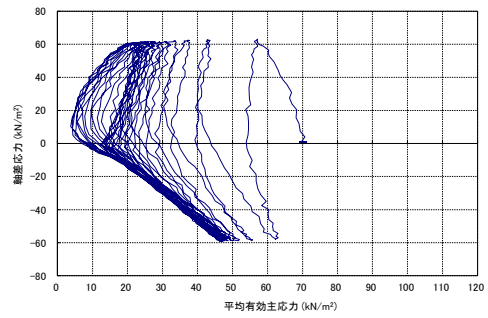
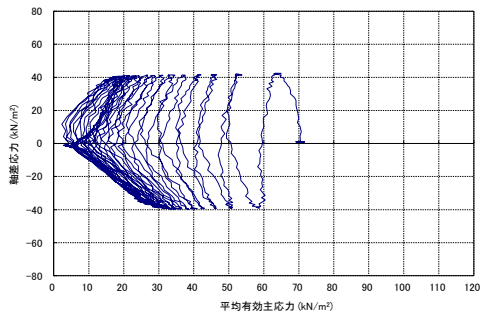


試験データ分析		液状化の判断
間隙水圧が上昇・蓄積する (95%)	○	繰返し軟化
有効応力がゼロまで低下する	○	
液体状となり流動する (ひずみ急増)	×	
ダイレイタンスー特性によりせん断抵抗が作用しない (有効応力が回復しない)	×	

試験データ分析		液状化の判断
間隙水圧が上昇・蓄積する (95%)	○	繰返し軟化
有効応力がゼロまで低下する	○	
液体状となり流動する (ひずみ急増)	×	
ダイレイタンスー特性によりせん断抵抗が作用しない (有効応力が回復しない)	×	

第 2-14 図 液状化強度試験結果
(KT-5_6 試料(供試体 No. 3))

第 2-15 図 液状化強度試験結果
(KT-5_6 試料(供試体 No. 4))

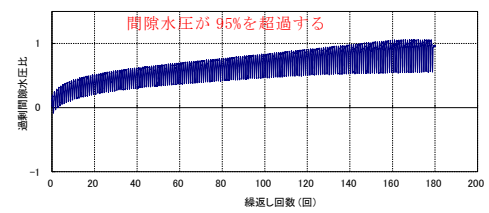
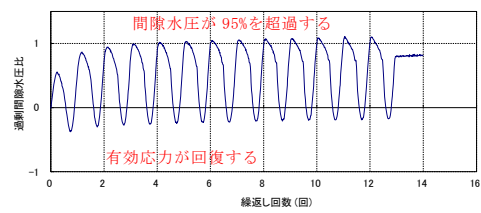
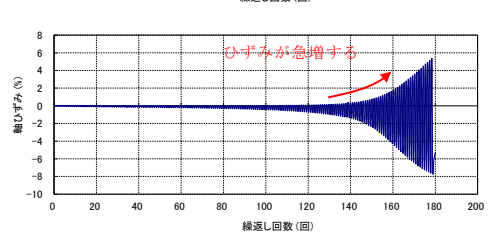
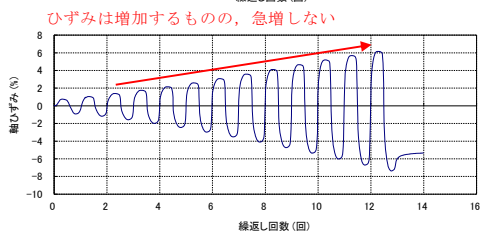
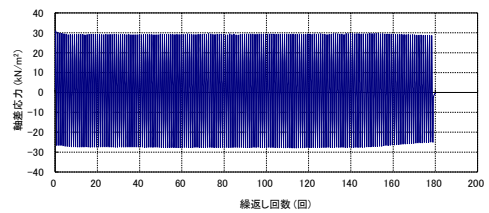
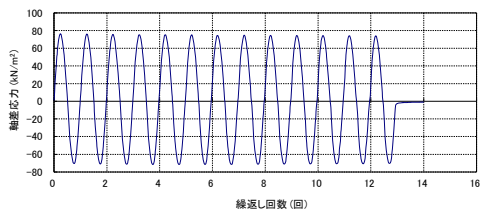
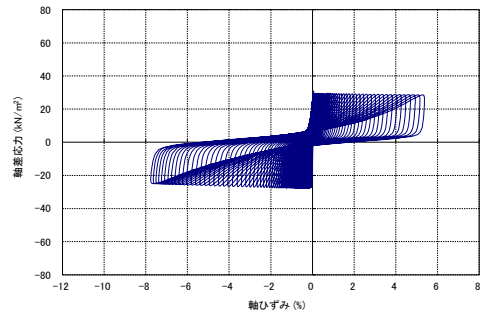
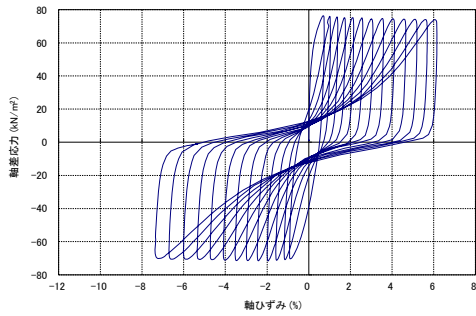
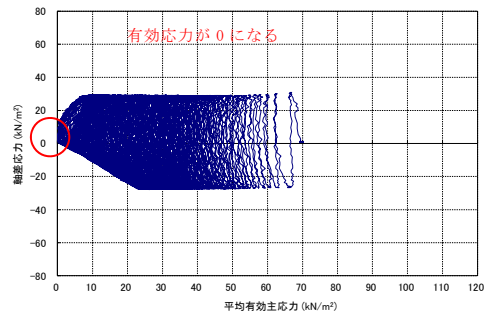
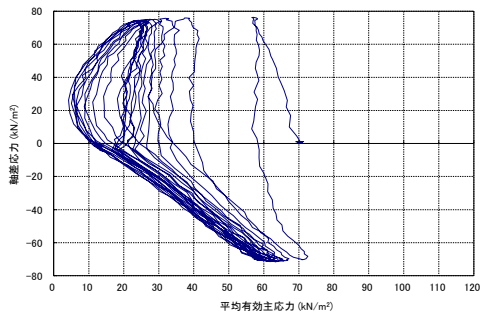


試験データ分析		液状化の判断
間隙水圧が上昇・蓄積する (95%)	○	液状化
有効応力がゼロまで低下する	×	
液体状となり流動する (ひずみ急増)	○	
ダイレイタンスー特性によりせん断抵抗が作用しない (有効応力が回復しない)	○	

試験データ分析		液状化の判断
間隙水圧が上昇・蓄積する (95%)	○	繰返し軟化
有効応力がゼロまで低下する	×	
液体状となり流動する (ひずみ急増)	×	
ダイレイタンスー特性によりせん断抵抗が作用しない (有効応力が回復しない)	×	

第 2-16 図 液状化強度試験結果
(KT-5_11 試料(供試体 No. 1))

第 2-17 図 液状化強度試験結果
(KT-5_11 試料(供試体 No. 2))

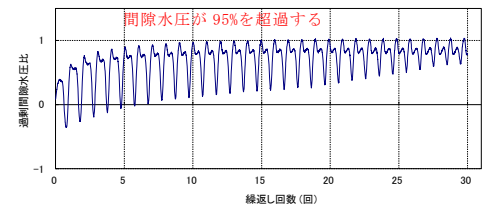
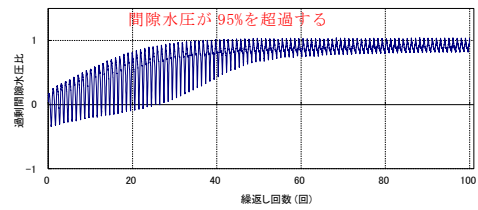
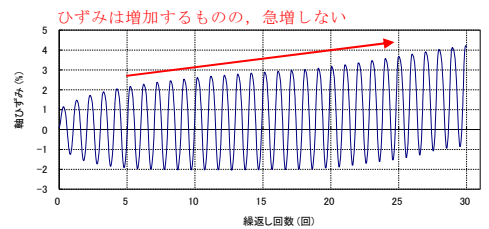
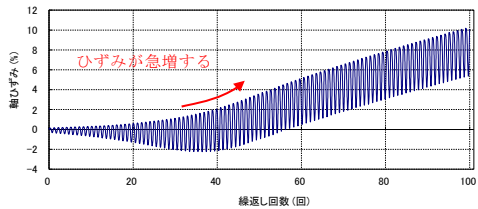
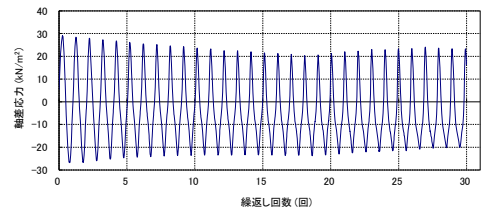
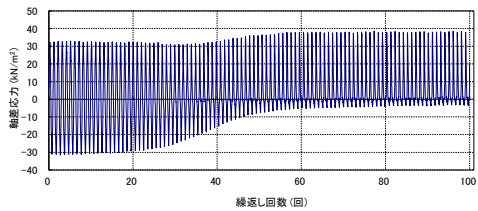
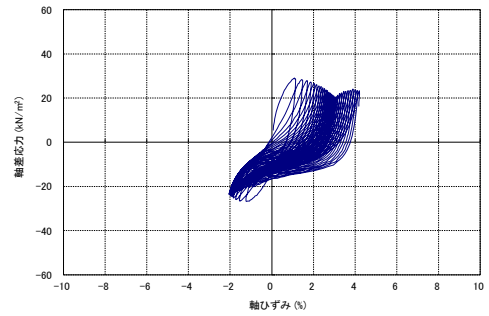
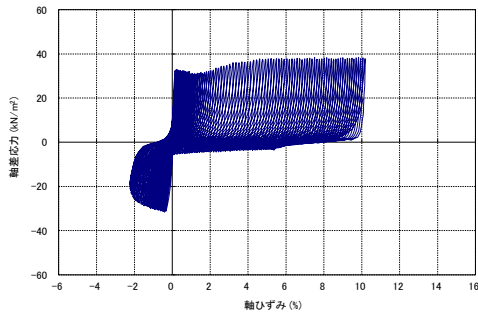
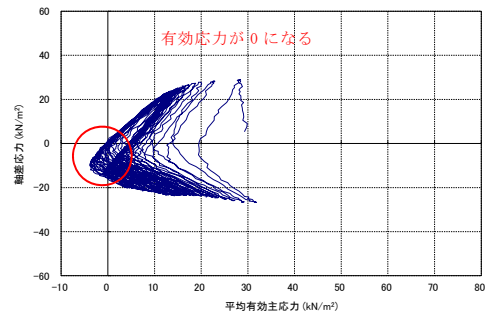
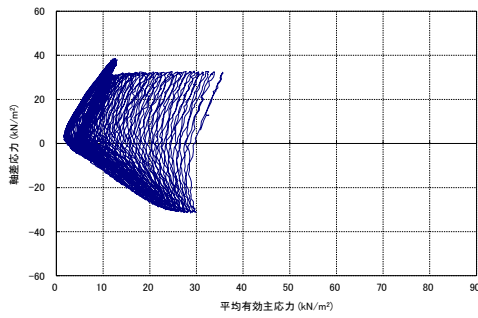


試験データ分析		液状化の判断
間隙水圧が上昇・蓄積する (95%)	○	繰返し軟化
有効応力がゼロまで低下する	×	
液体状となり流動する (ひずみ急増)	×	
ダイレイタンスー特性によりせん断抵抗が作用しない (有効応力が回復しない)	×	

試験データ分析		液状化の判断
間隙水圧が上昇・蓄積する (95%)	○	液状化
有効応力がゼロまで低下する	○	
液体状となり流動する (ひずみ急増)	○	
ダイレイタンスー特性によりせん断抵抗が作用しない (有効応力が回復しない)	○	

第 2-18 図 液状化強度試験結果
(KT-5_11 試料(供試体 No. 3))

第 2-19 図 液状化強度試験結果
(KT-5_11 試料(供試体 No. 4))

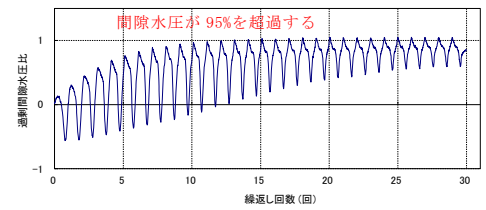
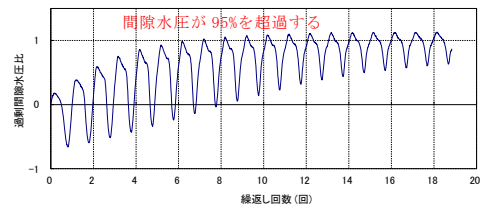
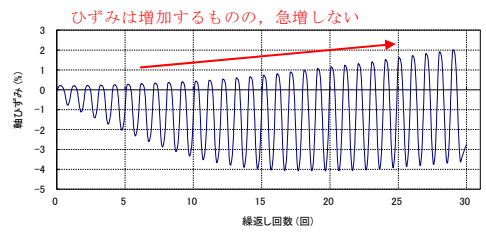
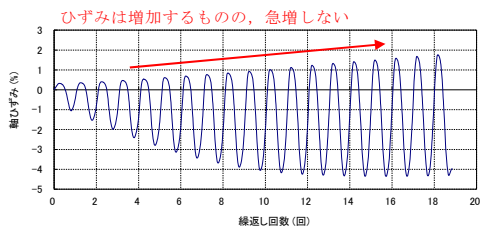
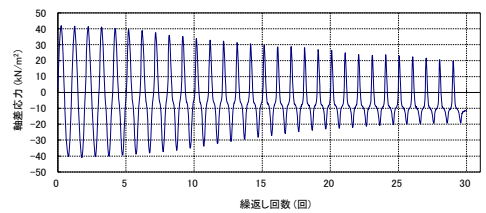
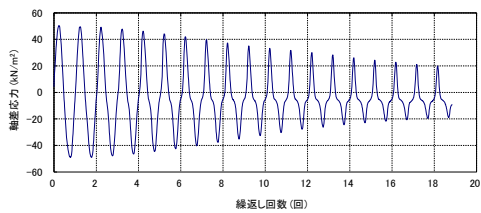
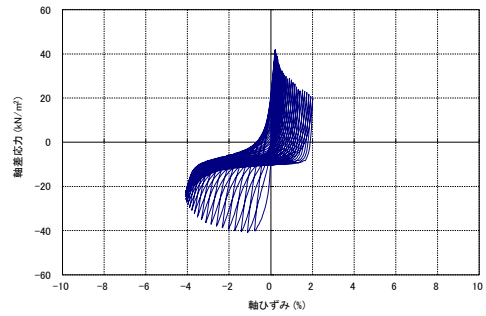
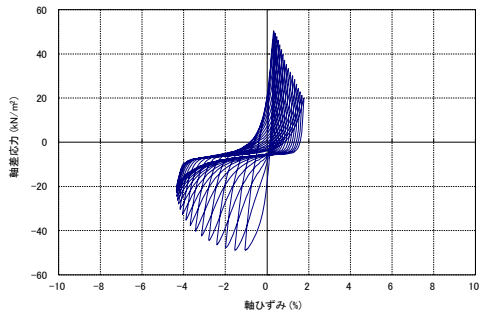
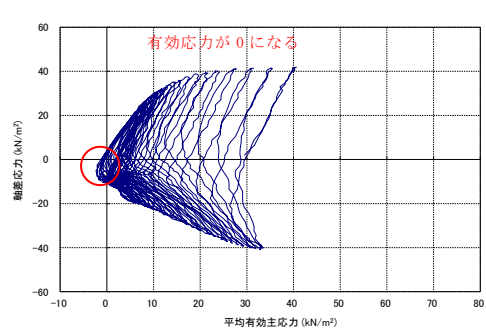
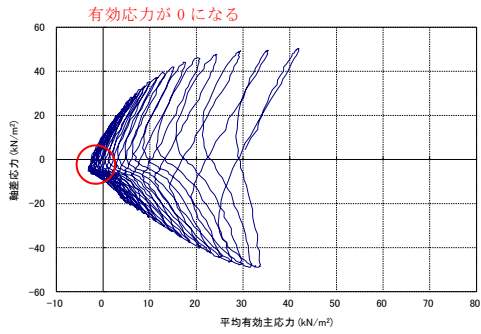


試験データ分析		液状化の判断
間隙水圧が上昇・蓄積する (95%)	○	液状化
有効応力がゼロまで低下する	×	
液体状となり流動する (ひずみ急増)	○	
ダイレイタンスー特性によりせん断抵抗が作用しない (有効応力が回復しない)	○	

試験データ分析		液状化の判断
間隙水圧が上昇・蓄積する (95%)	○	液状化
有効応力がゼロまで低下する	○	
液体状となり流動する (ひずみ急増)	×	
ダイレイタンスー特性によりせん断抵抗が作用しない (有効応力が回復しない)	○	

第 2-20 図 液状化強度試験結果 (KT-9_2-2-4 試料(供試体 No. 1))

第 2-21 図 液状化強度試験結果 (KT-9_2-2-4 試料(供試体 No. 2))

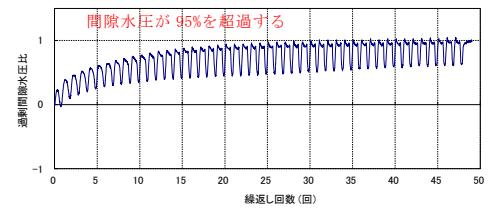
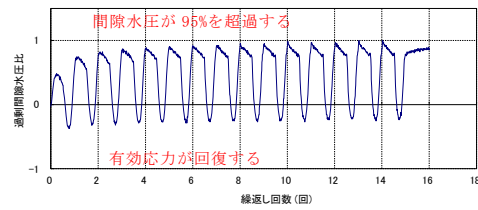
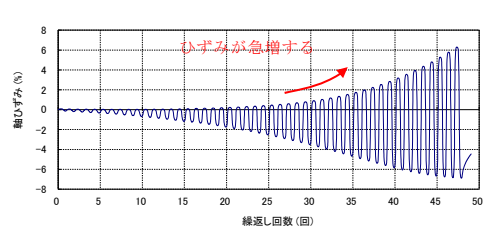
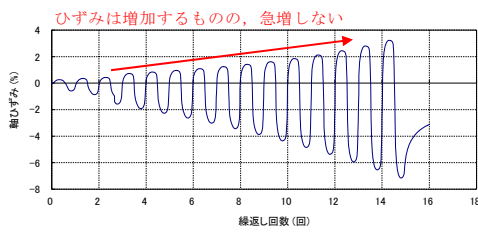
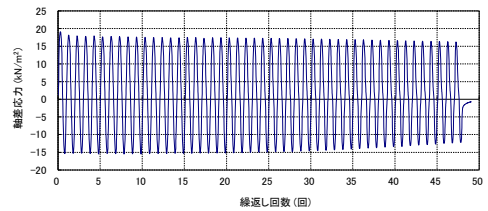
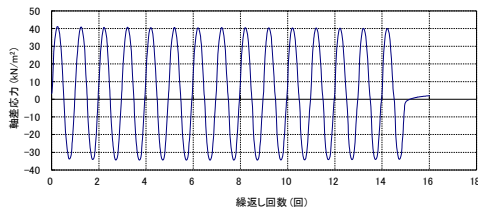
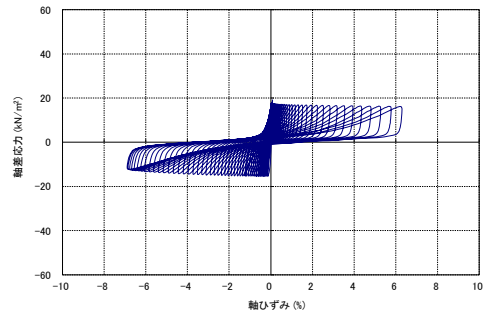
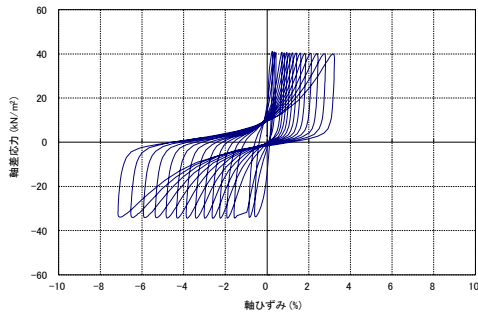
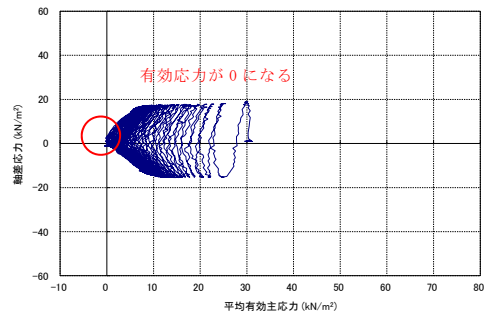
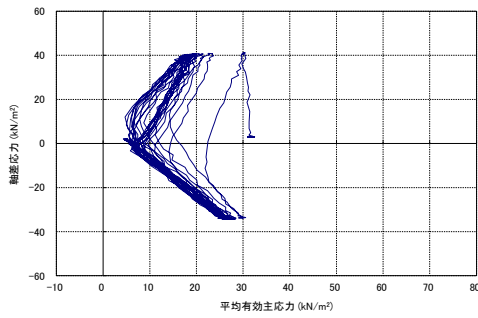


試験データ分析		液状化の判断
間隙水圧が上昇・蓄積する (95%)	○	液状化
有効応力がゼロまで低下する	○	
液体状となり流動する (ひずみ急増)	×	
ダイレイタンスー特性によりせん断抵抗が作用しない (有効応力が回復しない)	○	

試験データ分析		液状化の判断
間隙水圧が上昇・蓄積する (95%)	○	液状化
有効応力がゼロまで低下する	○	
液体状となり流動する (ひずみ急増)	×	
ダイレイタンスー特性によりせん断抵抗が作用しない (有効応力が回復しない)	○	

第 2-22 図 液状化強度試験結果
(KT-9_2-2-4 試料(供試体 No. 3))

第 2-23 図 液状化強度試験結果
(KT-9_2-2-4 試料(供試体 No. 4))

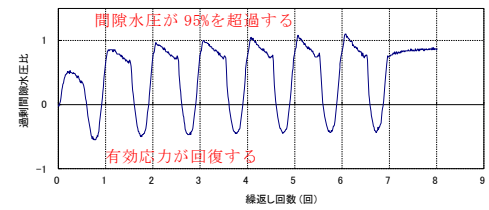
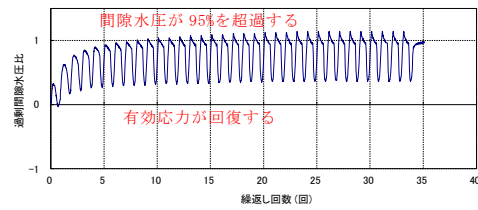
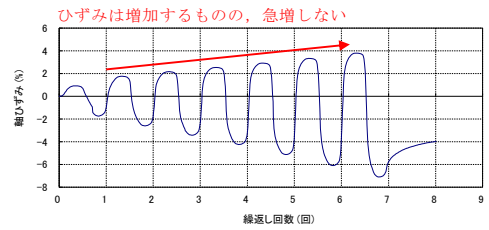
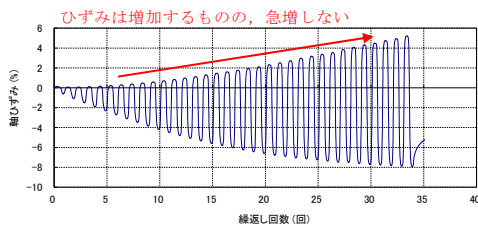
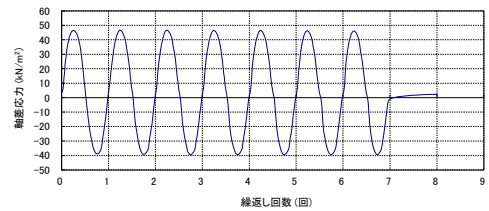
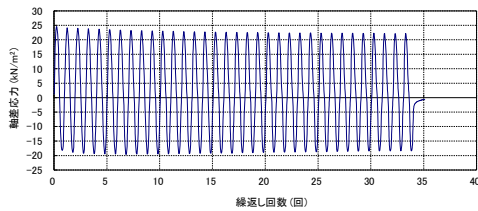
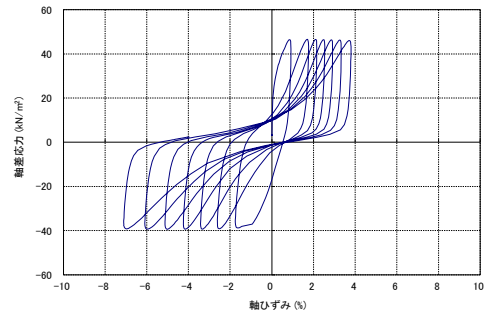
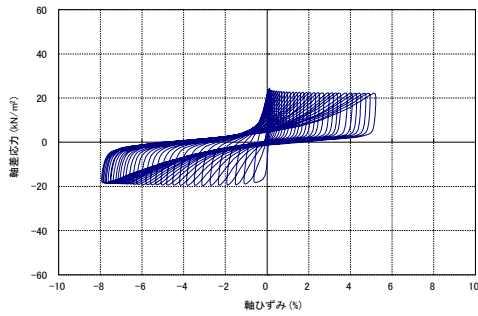
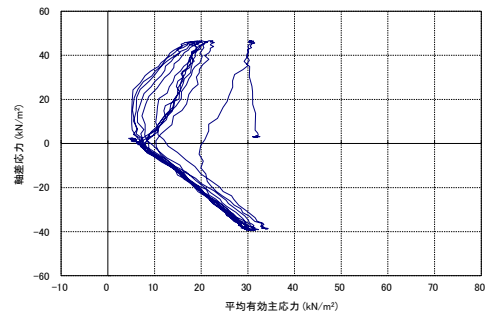
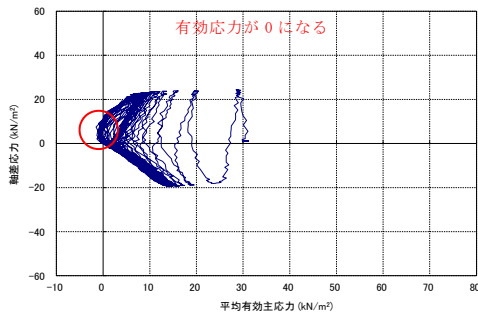


試験データ分析		液状化の判断
間隙水圧が上昇・蓄積する (95%)	○	繰返し軟化
有効応力がゼロまで低下する	×	
液体状となり流動する (ひずみ急増)	×	
ダイレイタンスー特性によりせん断抵抗が作用しない (有効応力が回復しない)	×	

試験データ分析		液状化の判断
間隙水圧が上昇・蓄積する (95%)	○	液状化
有効応力がゼロまで低下する	○	
液体状となり流動する (ひずみ急増)	○	
ダイレイタンスー特性によりせん断抵抗が作用しない (有効応力が回復しない)	○	

第 2-24 図 液状化強度試験結果 (KD-14_2-2 試料 (供試体 No. 1))

第 2-25 図 液状化強度試験結果 (KD-14_2-2 試料 (供試体 No. 2))

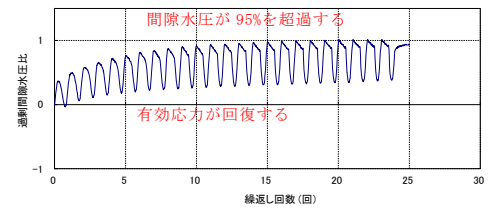
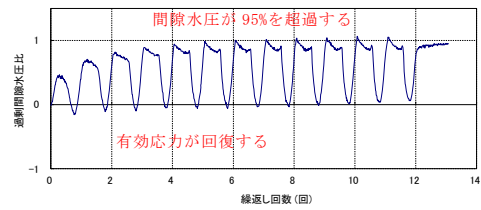
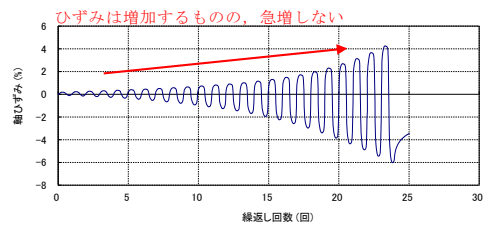
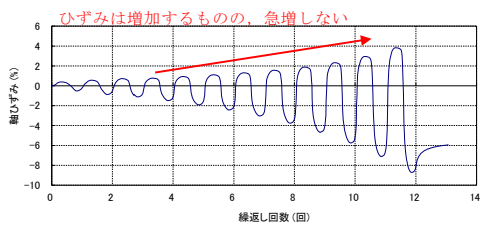
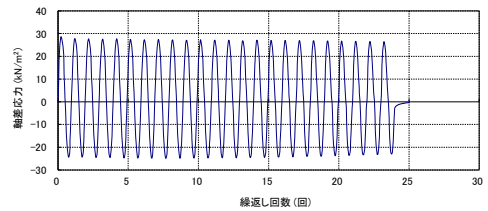
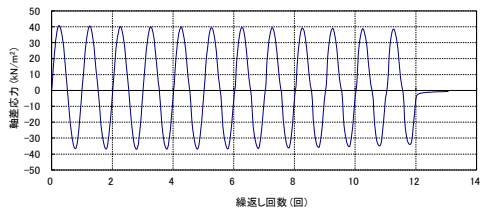
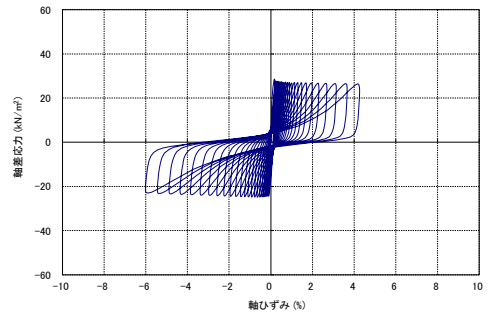
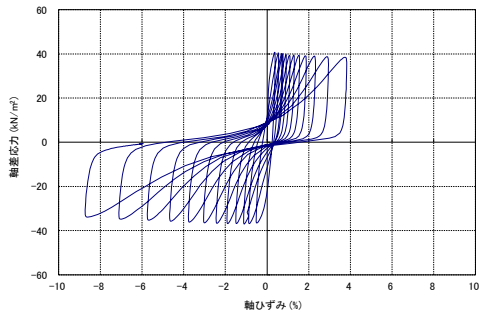
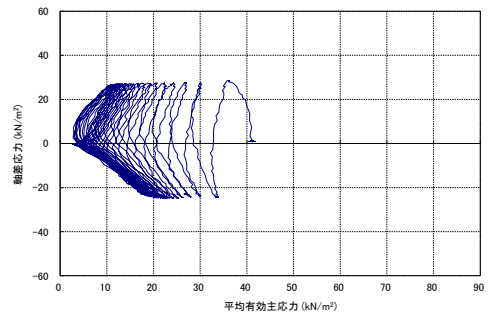
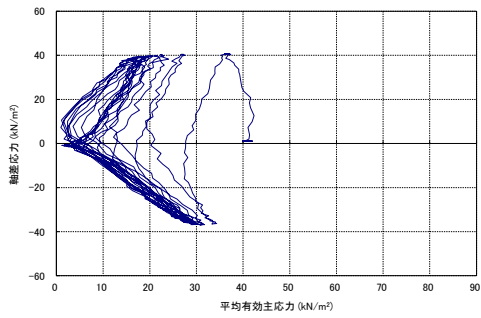


試験データ分析		液状化の判断
間隙水圧が上昇・蓄積する (95%)	○	繰返し軟化
有効応力がゼロまで低下する	○	
液体状となり流動する (ひずみ急増)	×	
ダイレイタンスー特性によりせん断抵抗が作用しない (有効応力が回復しない)	×	

試験データ分析		液状化の判断
間隙水圧が上昇・蓄積する (95%)	○	繰返し軟化
有効応力がゼロまで低下する	×	
液体状となり流動する (ひずみ急増)	×	
ダイレイタンスー特性によりせん断抵抗が作用しない (有効応力が回復しない)	×	

第 2-26 図 液状化強度試験結果 (KD-14_2-2 試料(供試体 No. 3))

第 2-27 図 液状化強度試験結果 (KD-14_2-2 試料(供試体 No. 4))

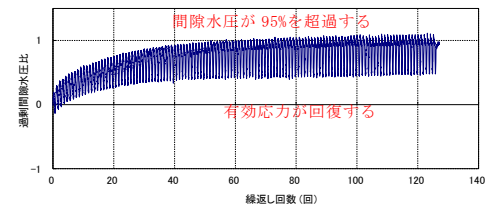
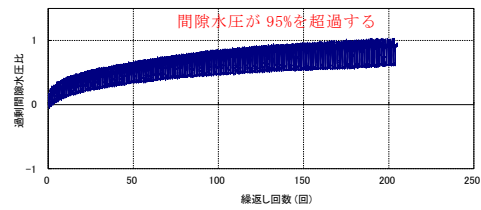
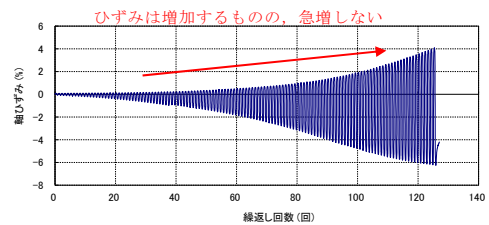
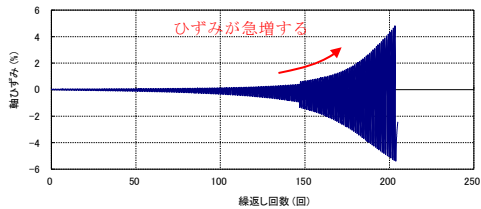
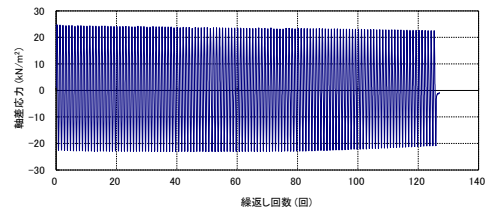
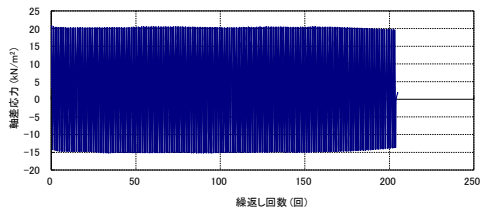
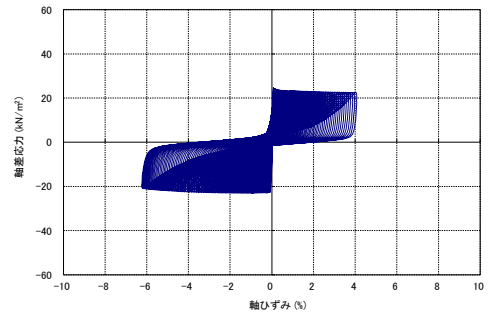
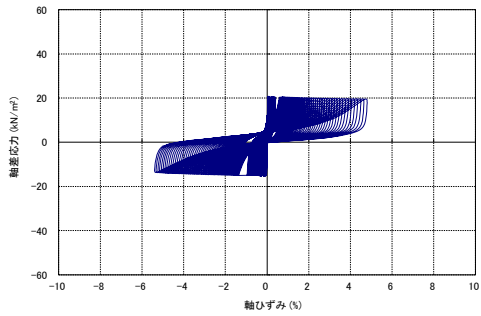
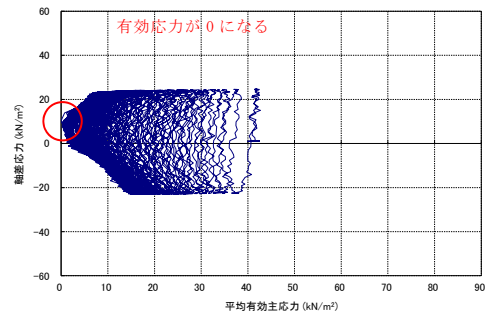
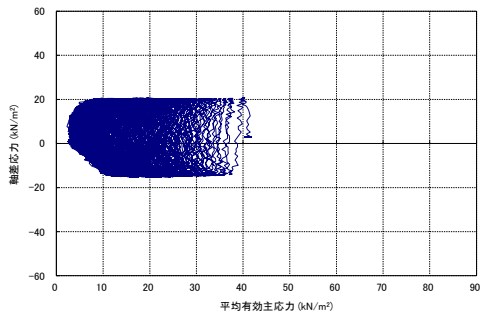


試験データ分析		液状化の判断
間隙水圧が上昇・蓄積する (95%)	○	繰返し軟化
有効応力がゼロまで低下する	×	
液体状となり流動する (ひずみ急増)	×	
ダイレイタンスー特性によりせん断抵抗が作用しない (有効応力が回復しない)	×	

試験データ分析		液状化の判断
間隙水圧が上昇・蓄積する (95%)	○	繰返し軟化
有効応力がゼロまで低下する	×	
液体状となり流動する (ひずみ急増)	×	
ダイレイタンスー特性によりせん断抵抗が作用しない (有効応力が回復しない)	×	

第 2-28 図 液状化強度試験結果 (KD-14_4-2 試料(供試体 No. 1))

第 2-29 図 液状化強度試験結果 (KD-14_4-2 試料(供試体 No. 2))

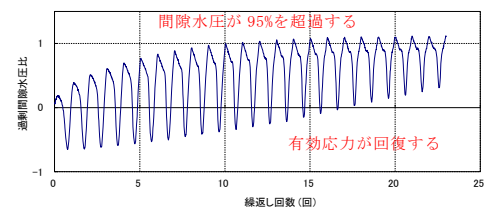
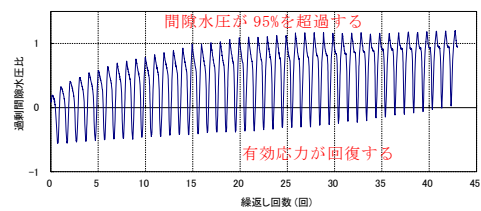
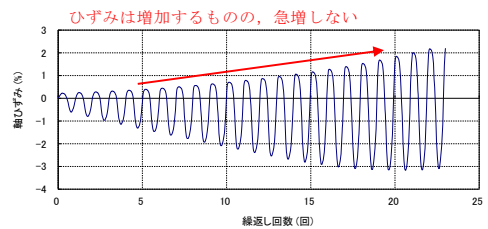
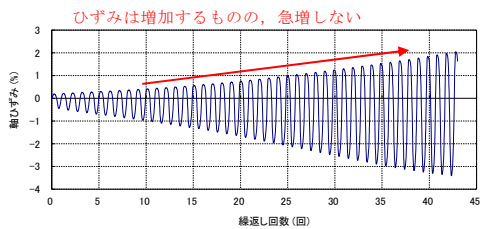
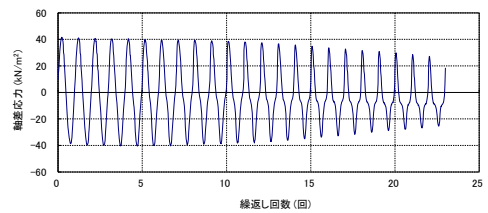
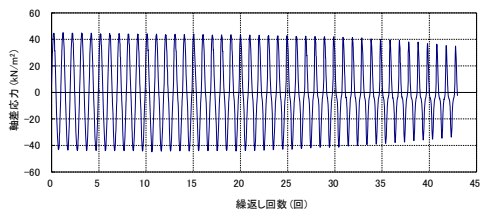
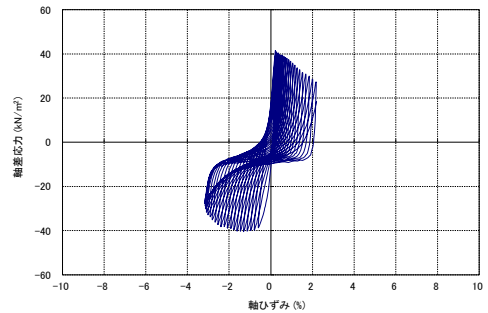
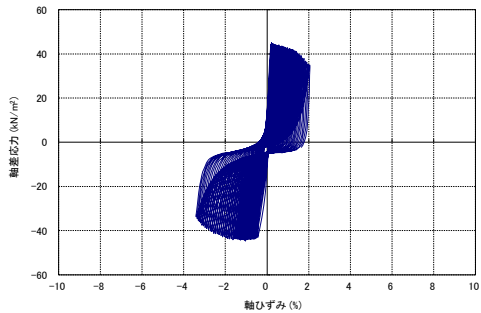
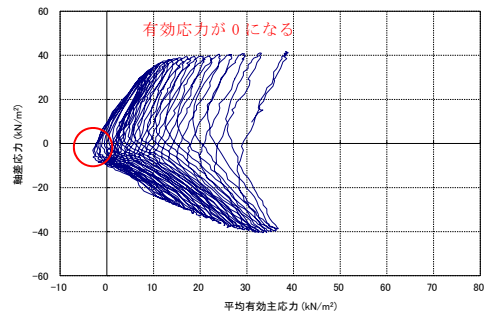
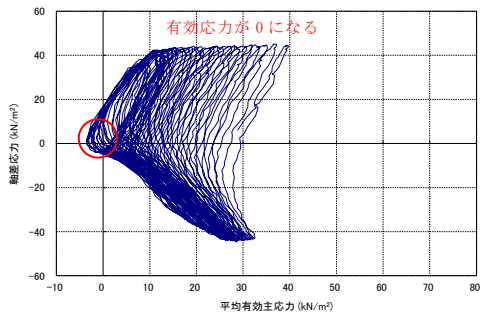


試験データ分析		液状化の判断
間隙水圧が上昇・蓄積する (95%)	○	液状化
有効応力がゼロまで低下する	×	
液体状となり流動する (ひずみ急増)	○	
ダイレイタンスー特性によりせん断抵抗が作用しない (有効応力が回復しない)	○	

試験データ分析		液状化の判断
間隙水圧が上昇・蓄積する (95%)	○	繰返し軟化
有効応力がゼロまで低下する	○	
液体状となり流動する (ひずみ急増)	×	
ダイレイタンスー特性によりせん断抵抗が作用しない (有効応力が回復しない)	×	

第 2-30 図 液状化強度試験結果
(KD-14_4-2 試料(供試体 No. 3))

第 2-31 図 液状化強度試験結果
(KD-14_4-2 試料(供試体 No. 4))

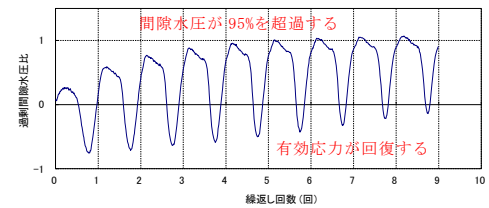
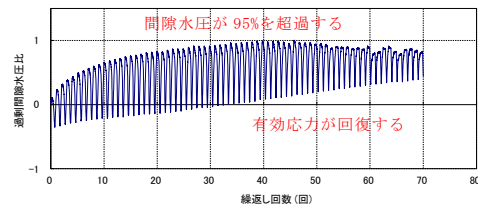
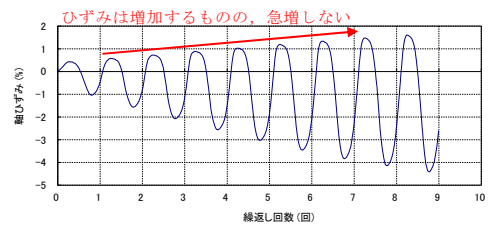
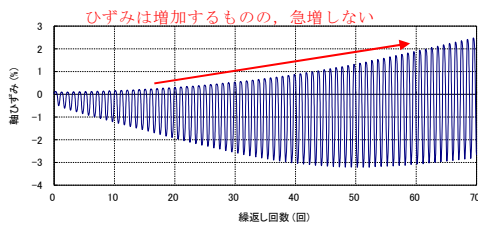
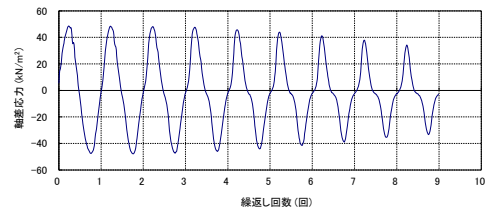
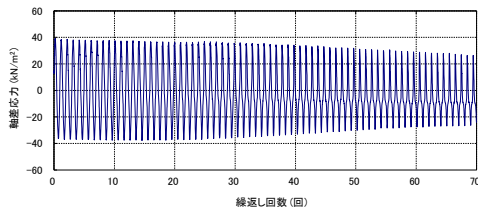
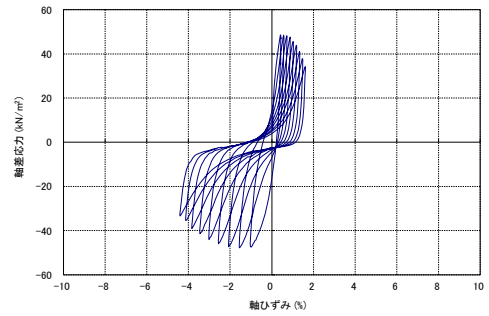
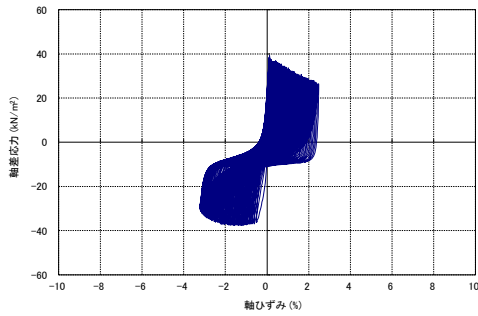
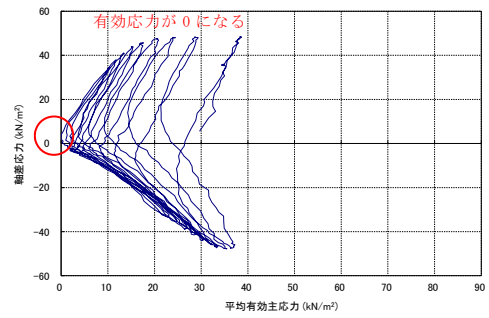
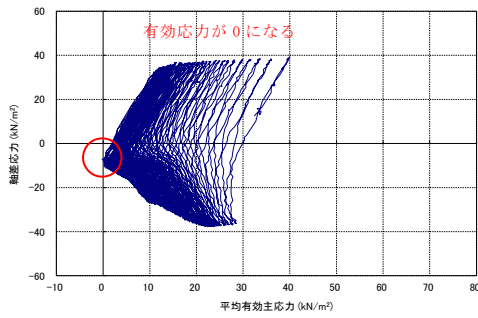


試験データ分析		液状化の判断
間隙水圧が上昇・蓄積する (95%)	○	繰返し軟化
有効応力がゼロまで低下する	○	
液体状となり流動する (ひずみ急増)	×	
ダイレイタンスー特性によりせん断抵抗が作用しない (有効応力が回復しない)	×	

試験データ分析		液状化の判断
間隙水圧が上昇・蓄積する (95%)	○	繰返し軟化
有効応力がゼロまで低下する	○	
液体状となり流動する (ひずみ急増)	×	
ダイレイタンスー特性によりせん断抵抗が作用しない (有効応力が回復しない)	×	

第 2-32 図 液状化強度試験結果 (KD-20_2-2 試料 (供試体 No. 1))

第 2-33 図 液状化強度試験結果 (KD-20_2-2 試料 (供試体 No. 2))

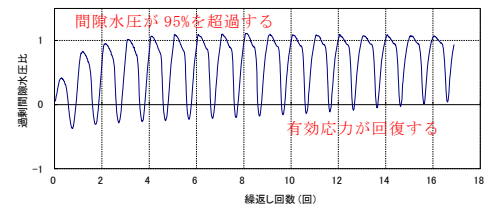
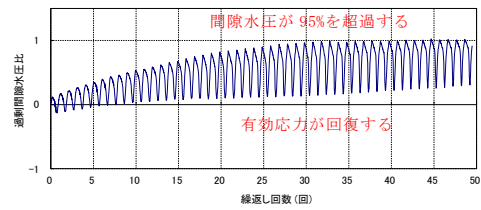
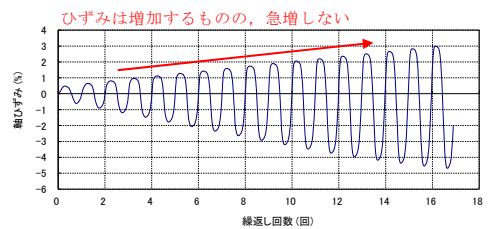
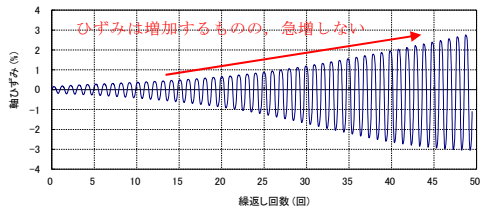
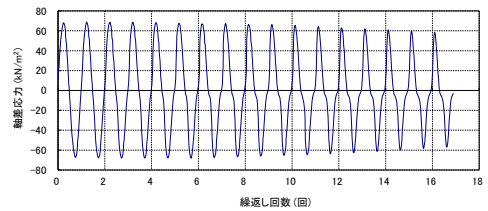
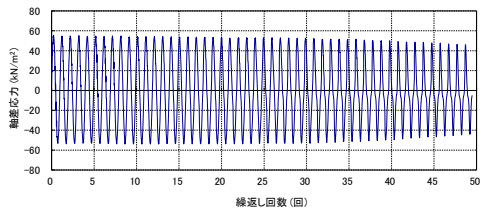
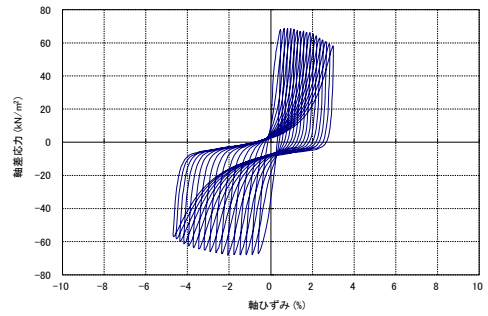
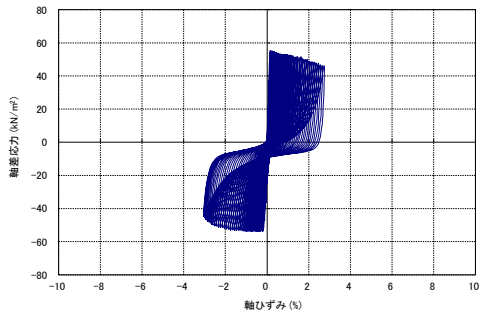
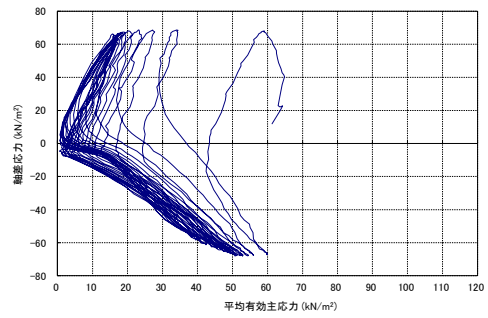
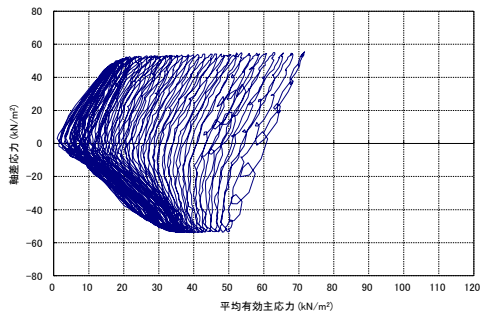


試験データ分析		液状化の判断
間隙水圧が上昇・蓄積する (95%)	○	繰返し軟化
有効応力がゼロまで低下する	○	
液体状となり流動する (ひずみ急増)	×	
ダイレイタンスー特性によりせん断抵抗が作用しない (有効応力が回復しない)	×	

試験データ分析		液状化の判断
間隙水圧が上昇・蓄積する (95%)	○	繰返し軟化
有効応力がゼロまで低下する	○	
液体状となり流動する (ひずみ急増)	×	
ダイレイタンスー特性によりせん断抵抗が作用しない (有効応力が回復しない)	×	

第 2-34 図 液状化強度試験結果
(KD-20_2-2 試料(供試体 No. 3))

第 2-35 図 液状化強度試験結果
(KD-20_2-2 試料(供試体 No. 4))

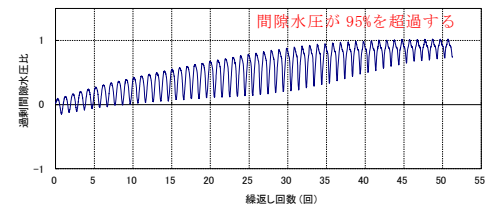
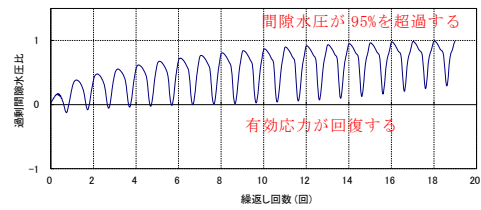
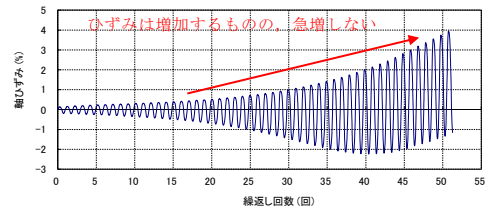
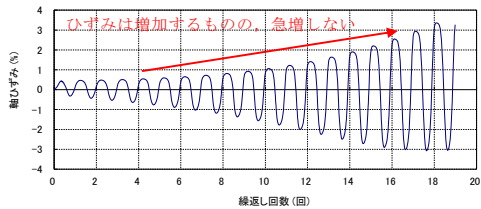
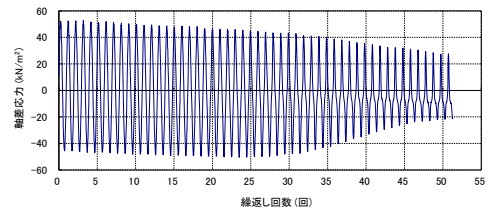
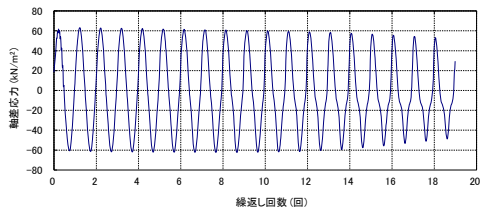
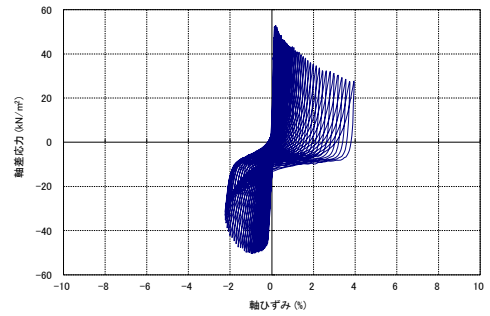
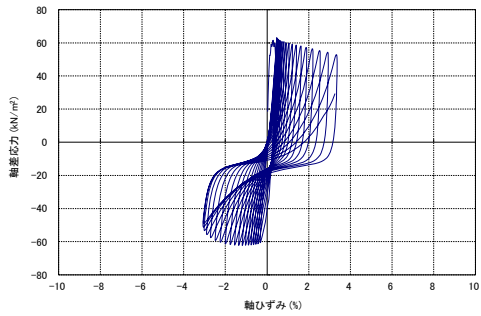
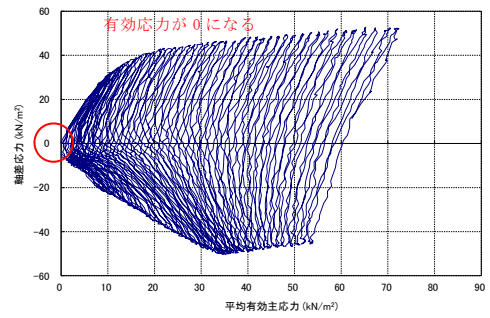
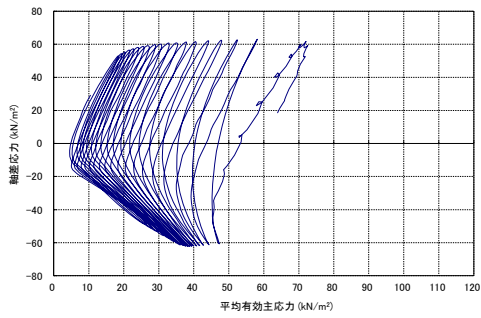


試験データ分析		液状化の判断
間隙水圧が上昇・蓄積する (95%)	○	繰返し軟化
有効応力がゼロまで低下する	×	
液体状となり流動する (ひずみ急増)	×	
ダイレイタンスー特性によりせん断抵抗が作用しない (有効応力が回復しない)	×	

試験データ分析		液状化の判断
間隙水圧が上昇・蓄積する (95%)	○	繰返し軟化
有効応力がゼロまで低下する	×	
液体状となり流動する (ひずみ急増)	×	
ダイレイタンスー特性によりせん断抵抗が作用しない (有効応力が回復しない)	×	

第 2-36 図 液状化強度試験結果
(KD-20_5-2 試料(供試体 No. 1))

第 2-37 図 液状化強度試験結果
(KD-20_5-2 試料(供試体 No. 2))



試験データ分析		液状化の判断
間隙水圧が上昇・蓄積する (95%)	○	繰返し軟化
有効応力がゼロまで低下する	×	
液体状となり流動する (ひずみ急増)	×	
ダイレイタンスー特性によりせん断抵抗が作用しない (有効応力が回復しない)	×	

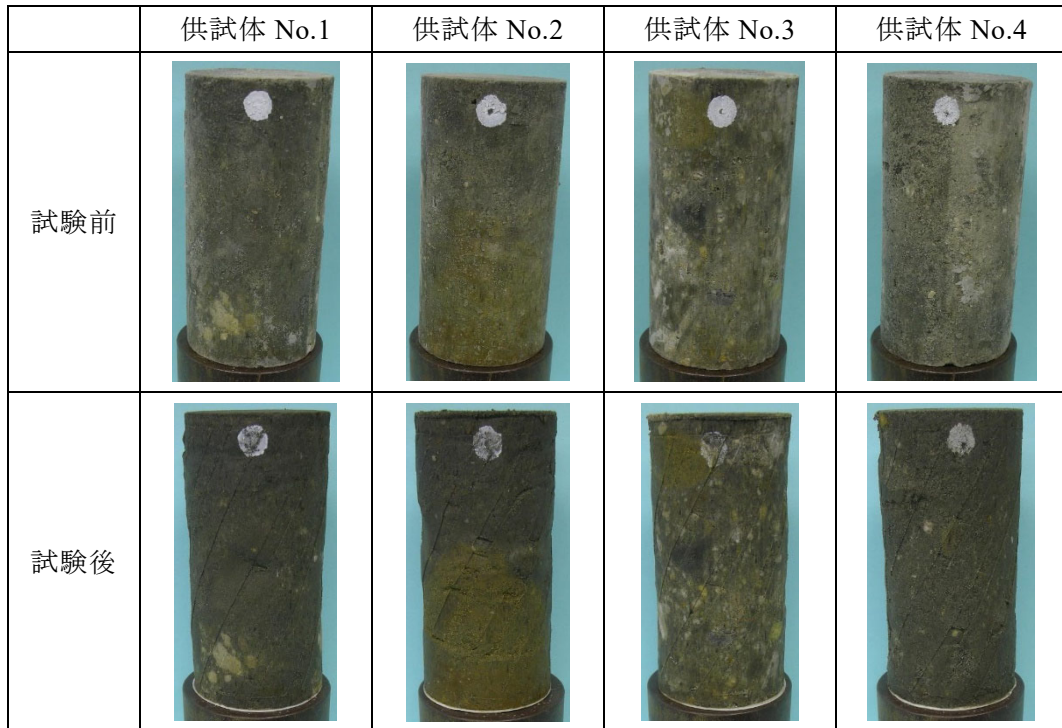
試験データ分析		液状化の判断
間隙水圧が上昇・蓄積する (95%)	○	液状化
有効応力がゼロまで低下する	○	
液体状となり流動する (ひずみ急増)	×	
ダイレイタンスー特性によりせん断抵抗が作用しない (有効応力が回復しない)	○	

第 2-38 図 液状化強度試験結果
(KD-20_5-2 試料(供試体 No. 3))

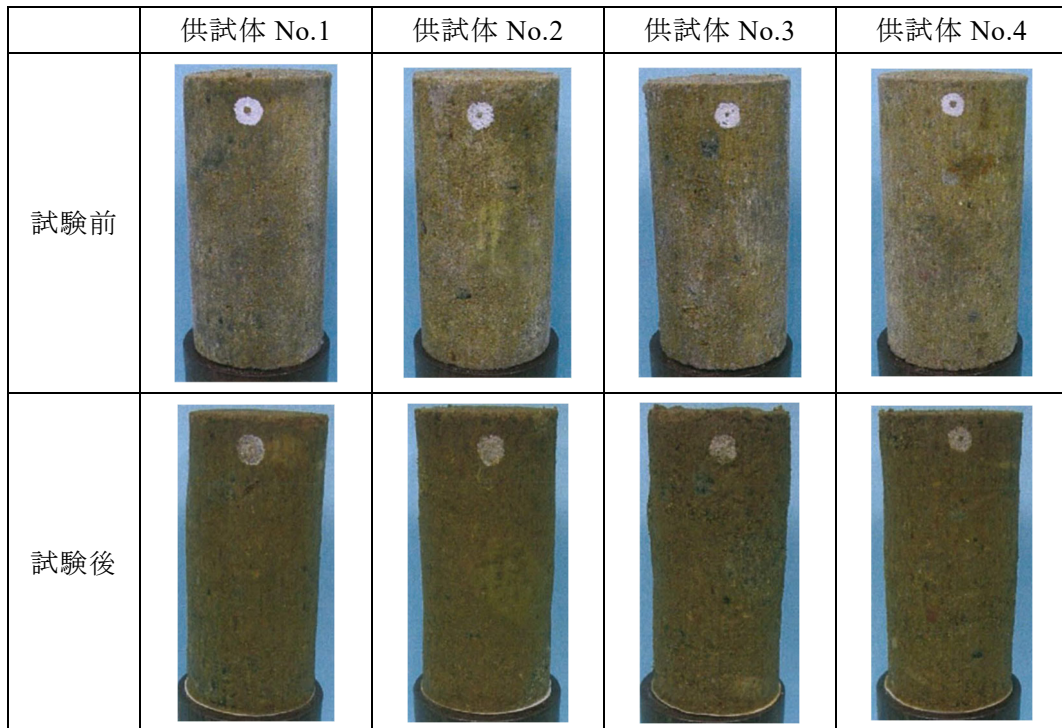
第 2-39 図 液状化強度試験結果
(KD-20_5-2 試料(供試体 No. 4))

3. 液状化強度試験供試体写真







液状化強度試験における供試体写真について第 3-1 図～第 3-10 図に示す。











第 3-1 図 液状化強度試験供試体写真 (埋戻し土)
(KT-3_3-2 試料)











第 3-2 図 液状化強度試験供試体写真 (埋戻し土)
(KT-3_5-2 試料)

	供試体 No.1	供試体 No.2	供試体 No.3
試験前			
試験後			









第 3-3 図 液状化強度試験供試体写真(埋戻し土)
(KT-5_4 試料)

	供試体 No.1	供試体 No.2	供試体 No.3	供試体 No.4
試験前				
試験後				

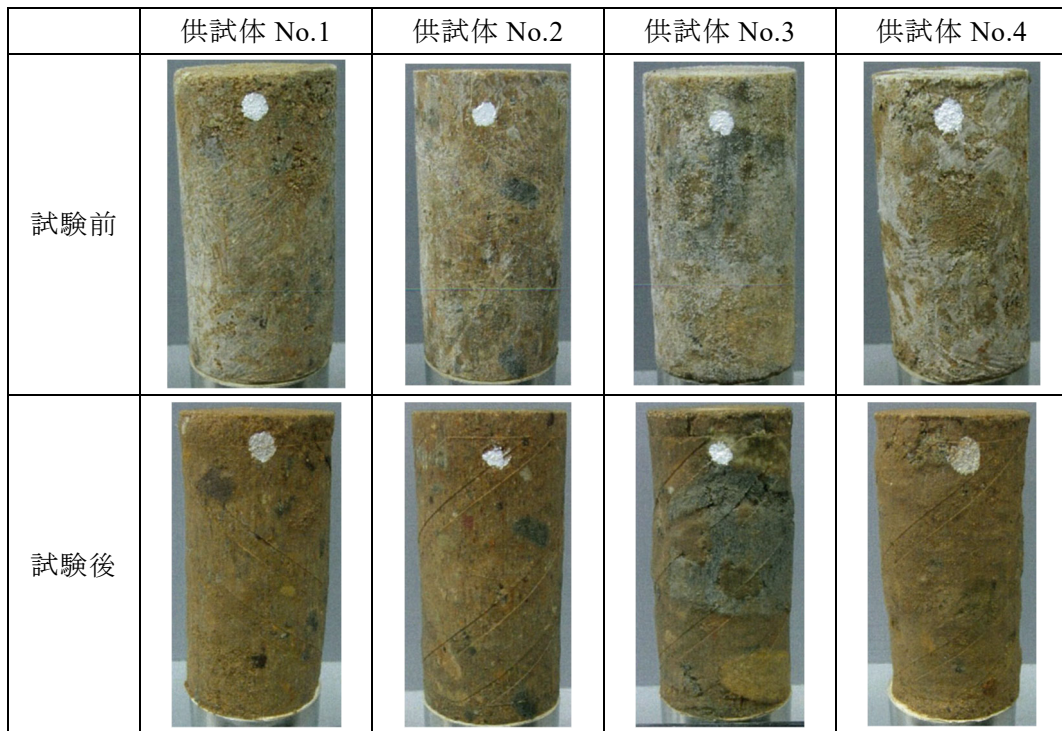
第 3-4 図 液状化強度試験供試体写真(埋戻し土)
(KT-5_6 試料)

	供試体 No.1	供試体 No.2	供試体 No.3	供試体 No.4
試験前				
試験後				

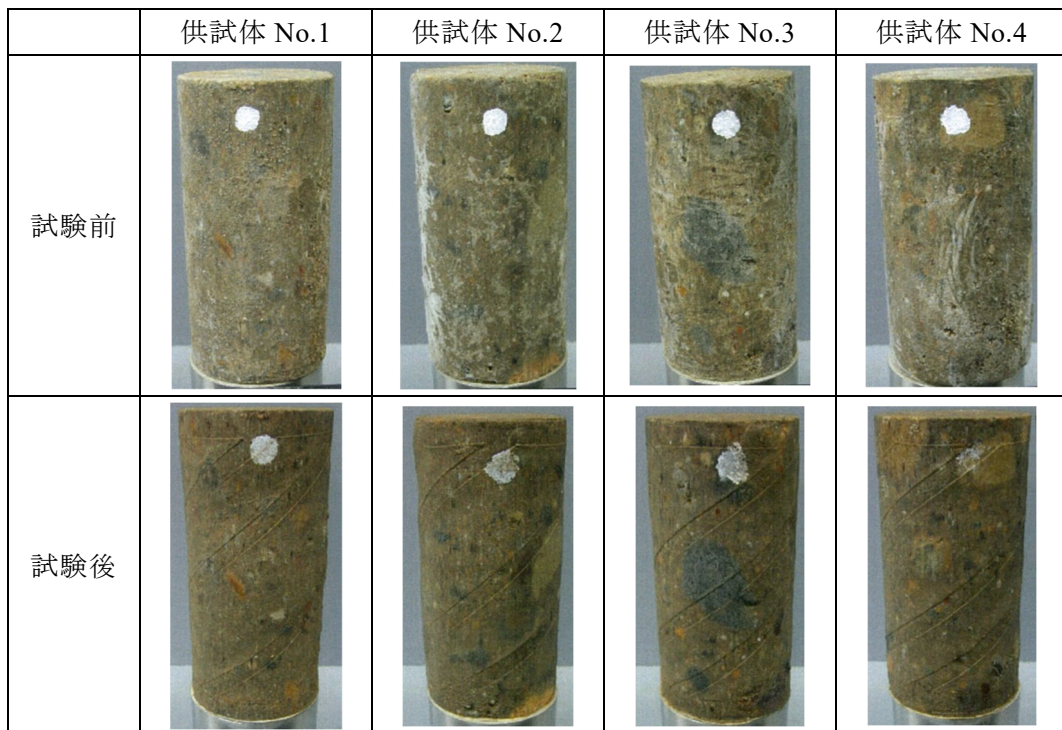
第 3-5 図 液状化強度試験供試体写真(埋戻し土)
(KT-5_11 試料)

	供試体 No.1	供試体 No.2	供試体 No.3	供試体 No.4
試験前				
試験後				









第 3-6 図 液状化強度試験供試体写真(埋戻し土)
(KT-9_2-2-4 試料)











第 3-7 図 液状化強度試験供試体写真(埋戻し土)
(KD-14_2-2 試料)



第 3-8 図 液状化強度試験供試体写真(埋戻し土)
(KD-14_4-2 試料)

	供試体 No.1	供試体 No.2	供試体 No.3	供試体 No.4
試験前				
試験後				

第 3-9 図 液状化強度試験供試体写真(埋戻し土)
(KD-20_2-2 試料)

	供試体 No.1	供試体 No.2	供試体 No.3	供試体 No.4
試験前				
試験後				

第 3-10 図 液状化強度試験供試体写真(埋戻し土)
(KD-20_5-2 試料)